

CNO Seguimiento Climatológico + Predicción Climática

JULIETA SERNA CUENCA



CONTENIDO

1. INDICADORES AGOSTO 2020
2. SEGUIMIENTO CLIMATOLÓGICO
3. PREDICCIÓN CLIMÁTICA
4. ANÁLOGOS



INDICADORES AGOSTO 2020

INDICADORES DEL SISTEMA CLIMÁTICO

TSM: Temperatura Superficial del Mar.

EN: Regiones El Niño para el monitoreo de la TSM

El ONI, se basa en la observación de la región 3 4

IOS: Índice de Oscilación del Sur. Se refiere a la variación estandarizada de presión del nivel del mar entre Darwin y Tahití.

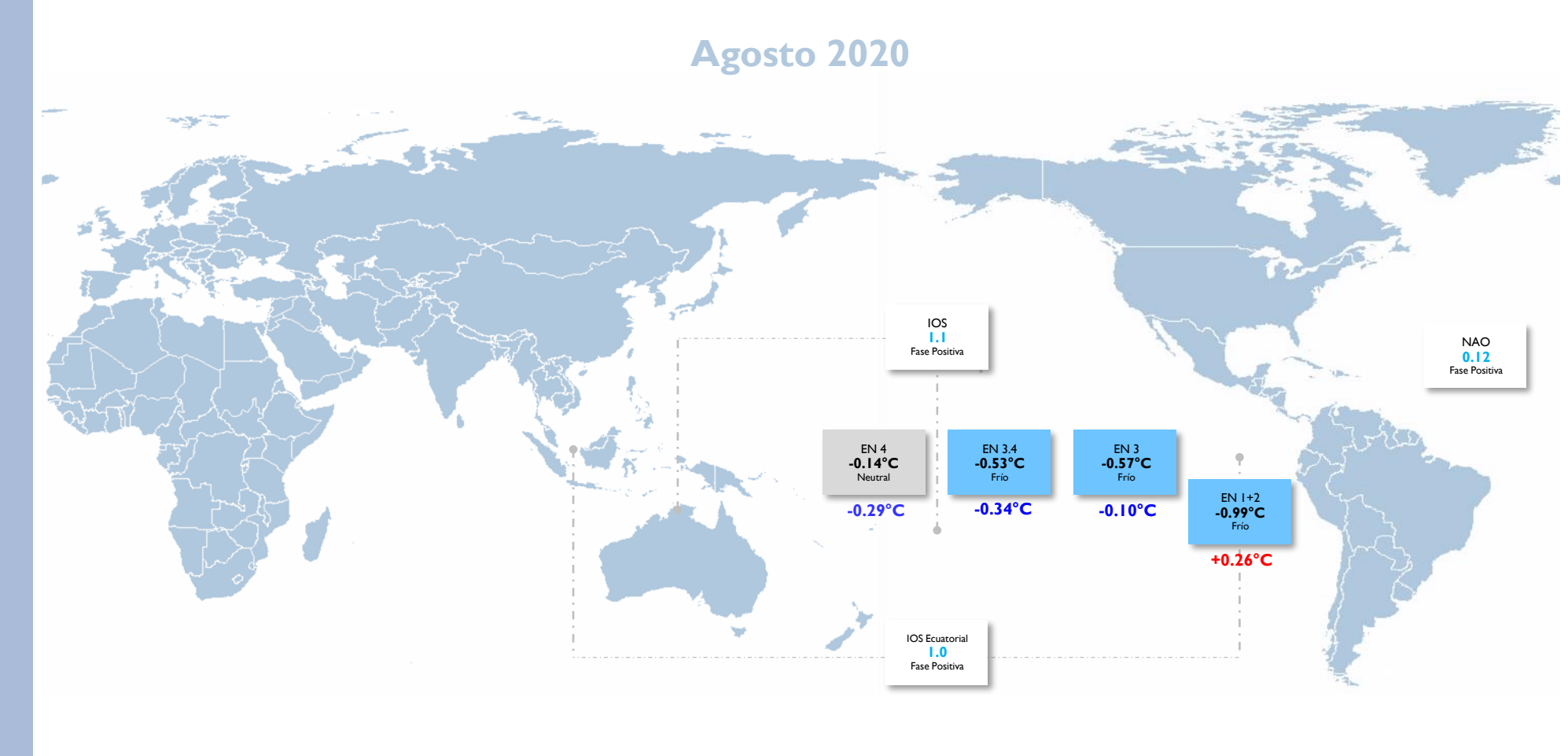
IOS Ecuatorial: Índice de Oscilación del Sur Ecuatorial. Se refiere a las anomalías estandarizadas de presión entre el Pacífico ecuatorial este (80°W – 130°W, 5°N – 5°S) y un área sobre Indonesia (90°E – 140°E, 5°N – 5°S).

NAO: Diferencia de Presión entre la Alta Subtropical de los Azores y la Baja Polar.

MEI: Índice El Niño Multivariado.

QBO: Oscilación Cuasibienal. Se refiere al comportamiento del viento en la estratósfera.

PDO: Oscilación Decadal del Pacífico.

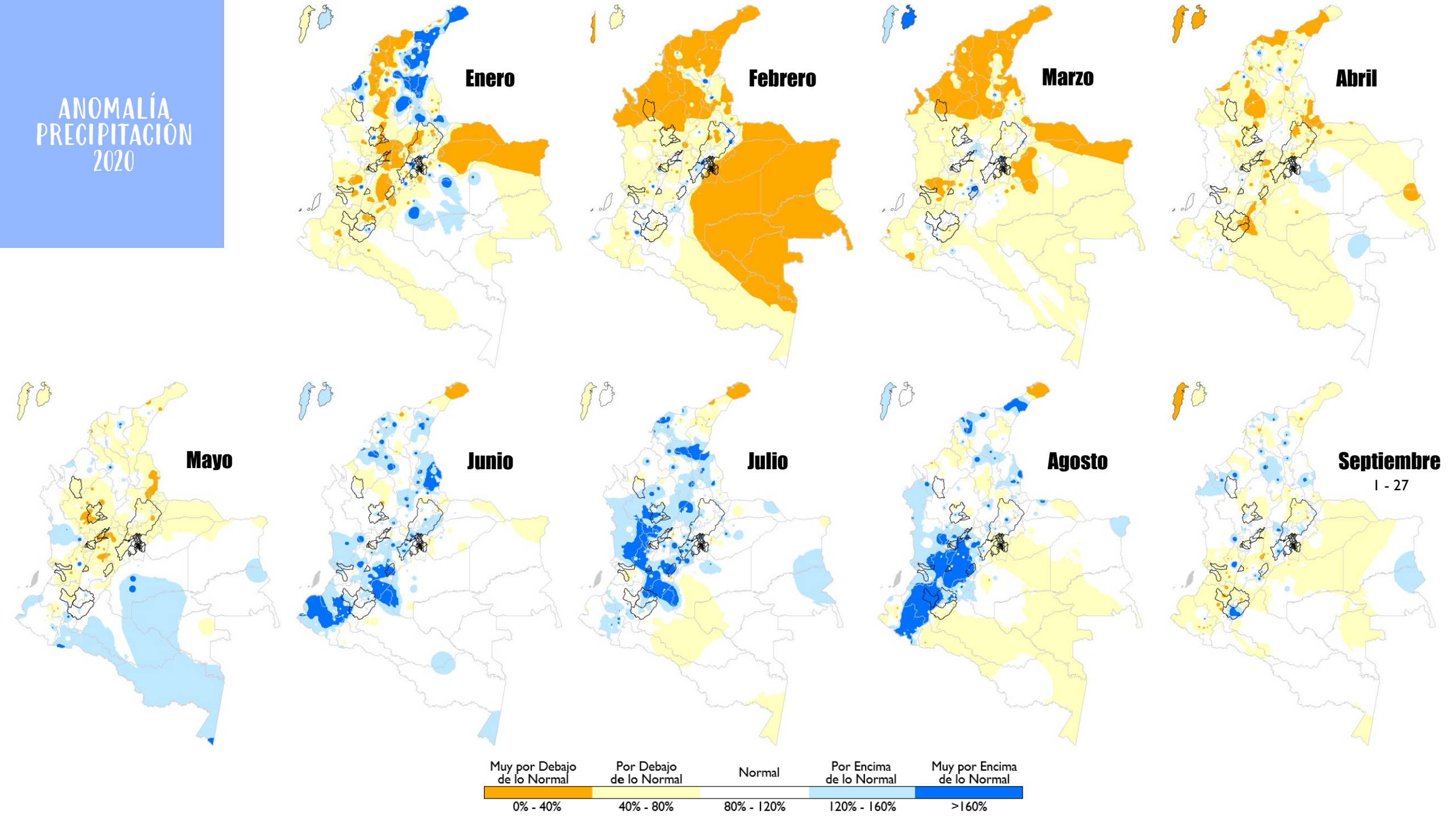


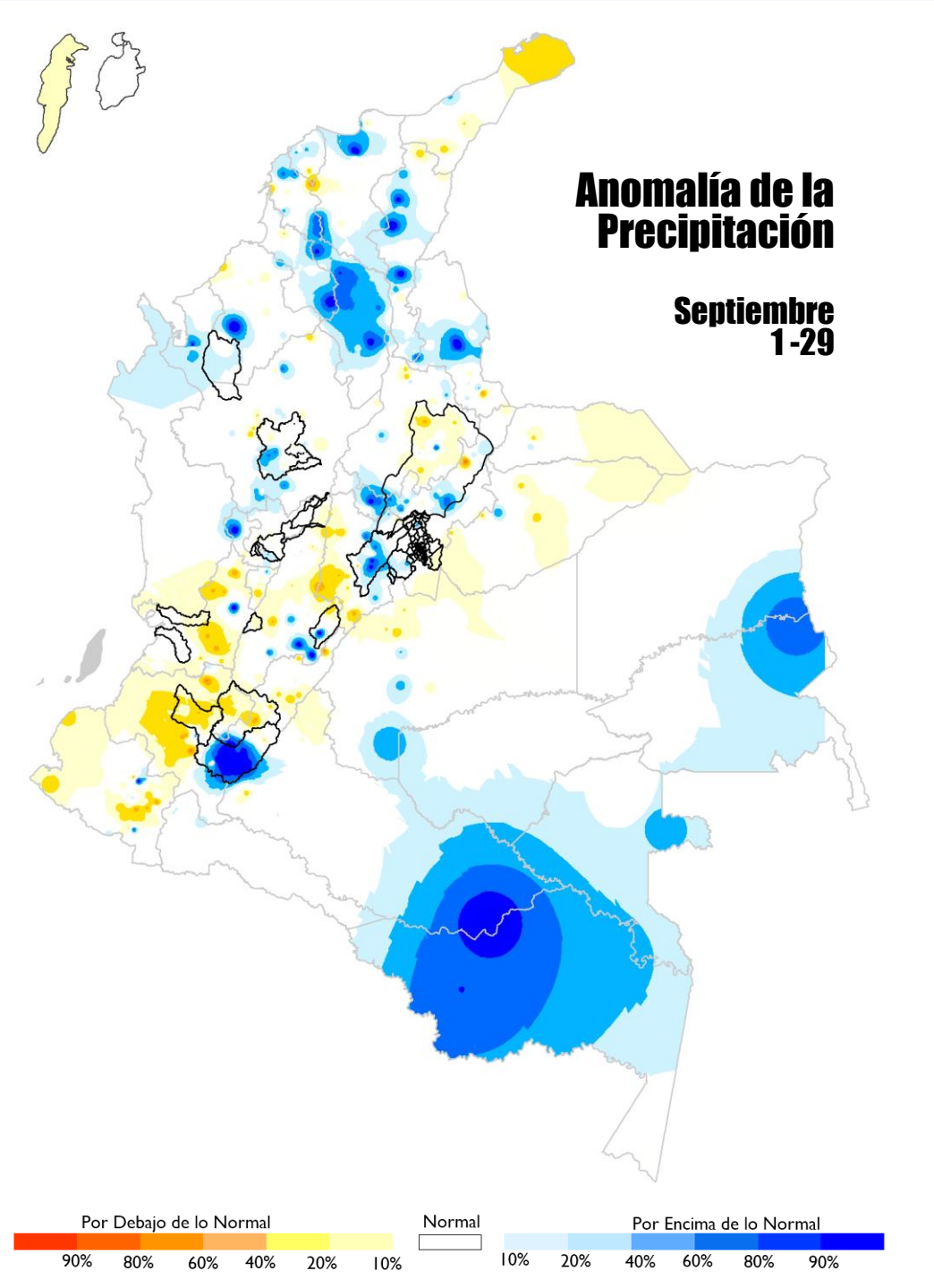


SEGUIMIENTO CLIMATOLÓGICO

- PRECIPITACIÓN OBSERVADA 2020.
- INTRAESTACIONALIDAD.
- OCÉANO: SUPERFICIAL Y SUBSUPERFICIAL.
- ATMÓSFERA: VIENTO Y NUBOSIDAD.
- CICLO ENOS. INDICADORES Y DISCUSIONES.
- CONCLUSIÓN

PRECIPITACIÓN OBSERVADA





| ZCIT | ONDAS ECUATORIALES |
|----------------|-----------------------|
| ONDAS DEL ESTE | MJO |

ANOMALÍA PRECIPITACIÓN SEPTIEMBRE 2020

PERTURBACIONES

QUE INCIDIERON

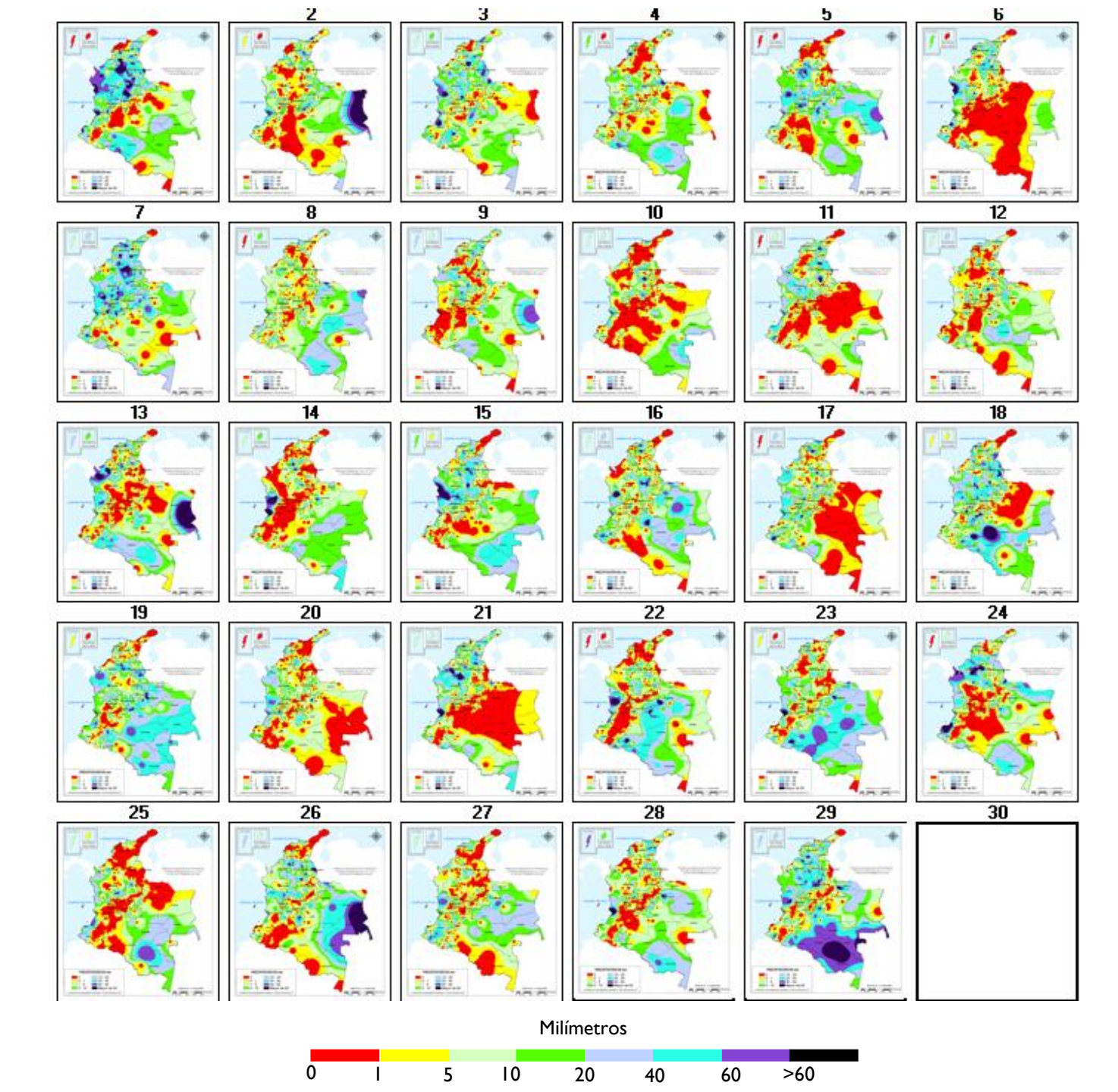
EN EL

COMPORTAMIENTO

DE LA LLUVIA

PRECIPITACIÓN DIARIA

SEPTIEMBRE 2020

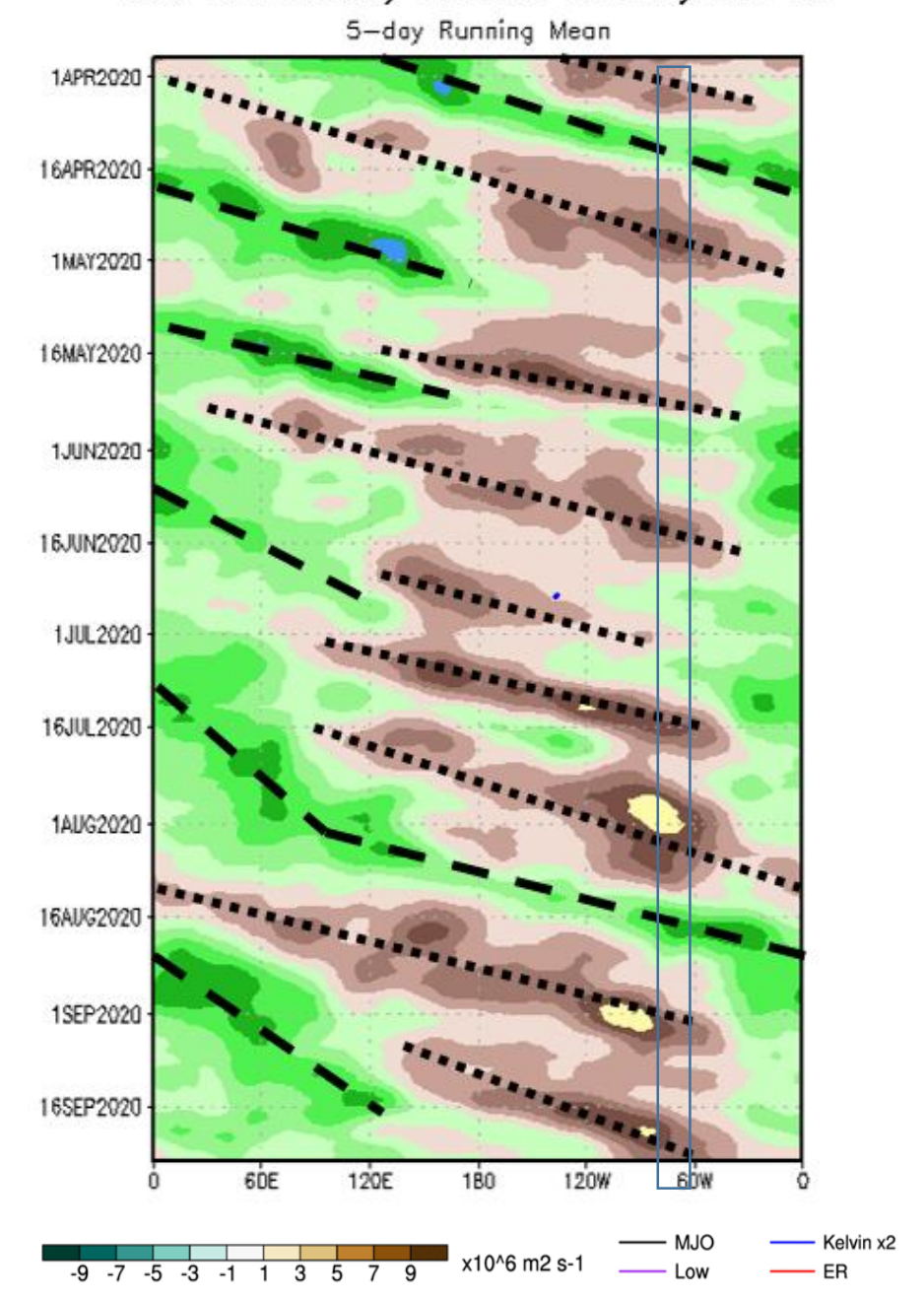


INTRAESTACIONALIDAD

ESCALA INTRAESTACIONAL MJO

• Predominio de la fase subsidente.

200-hPa Velocity Potential Anomaly: 5N-5S



Favorece Convección

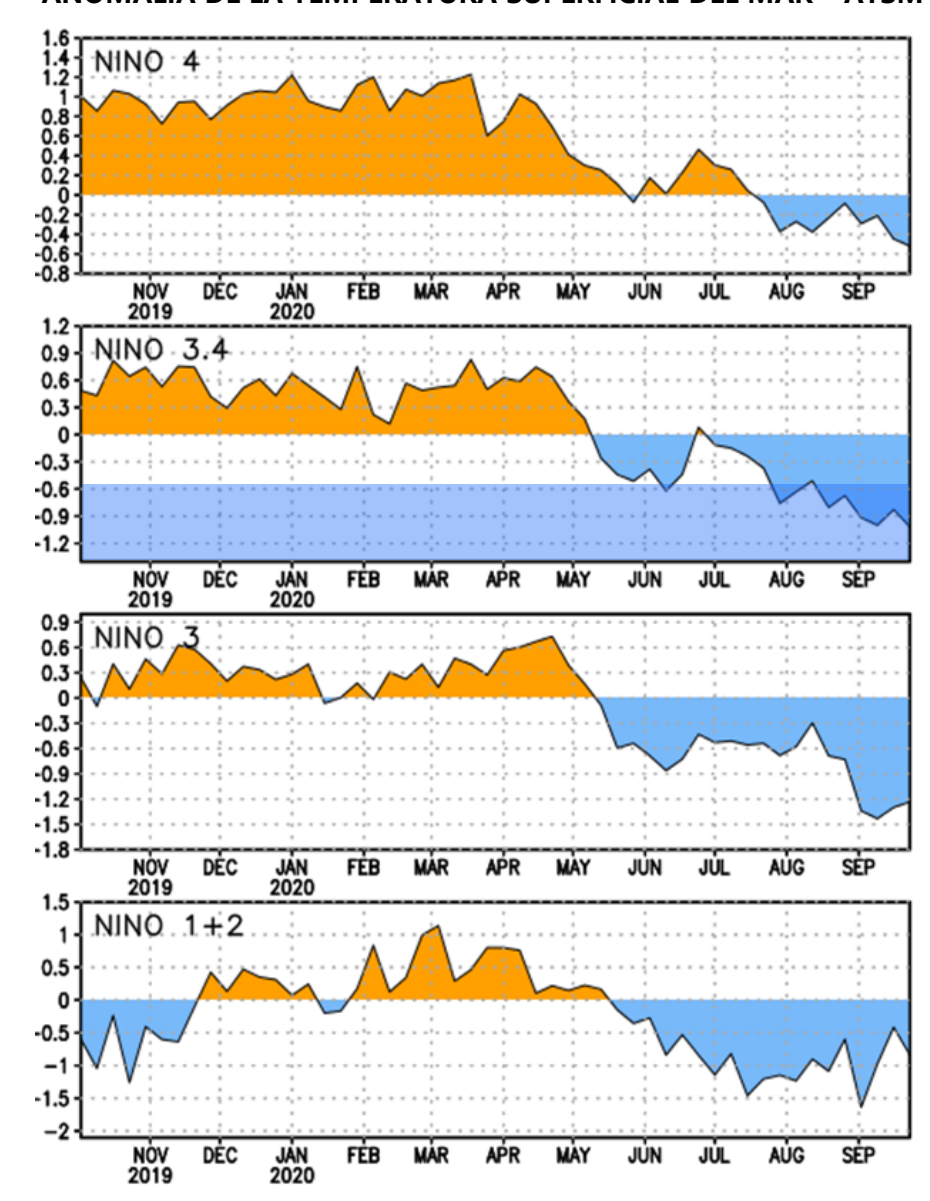


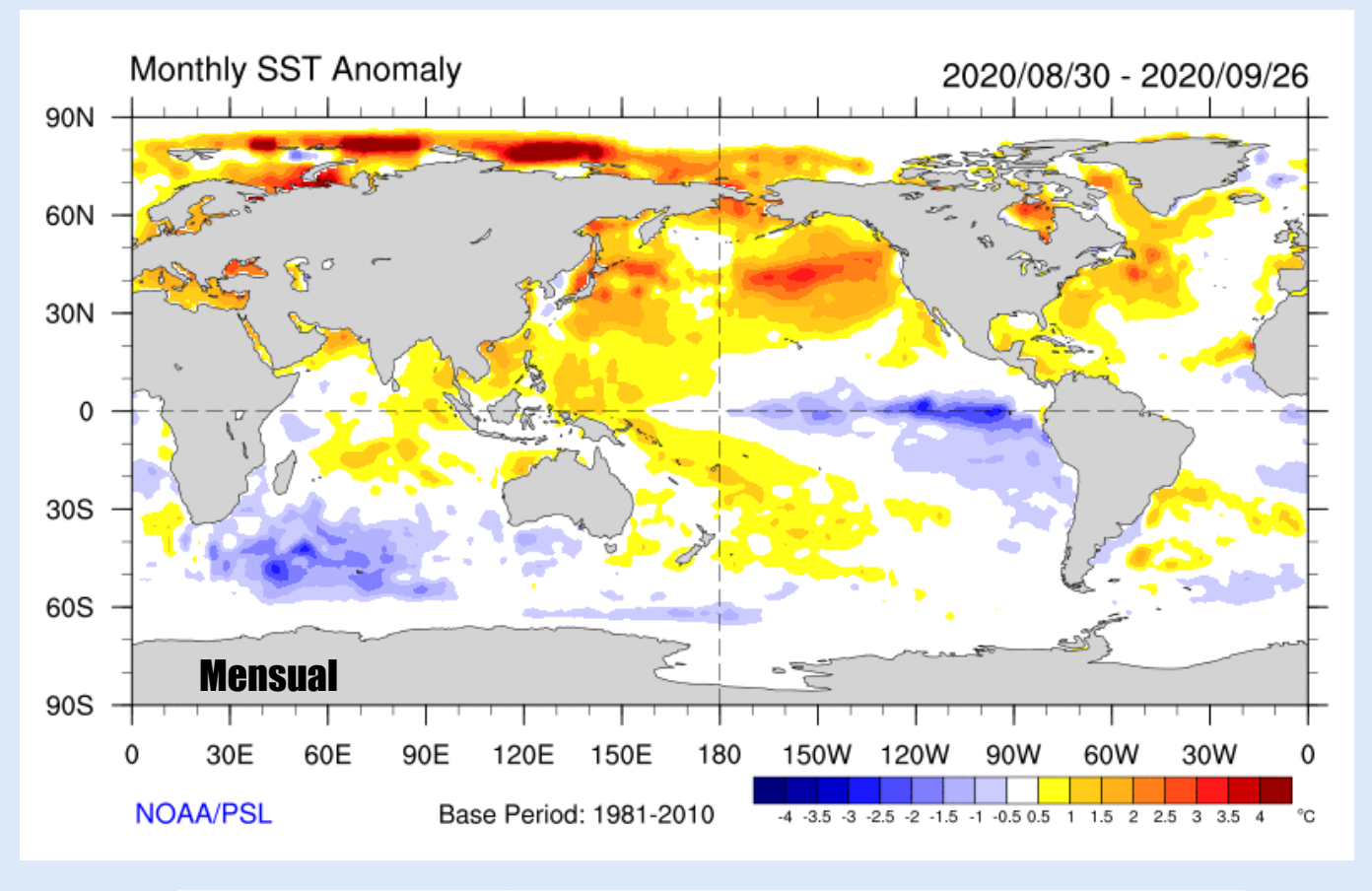
Inhibe Convección

OCÉANO SUPERFICIAL Y SUBSUPERFICIAL

COMPORTAMIENTO OCEÁNICO. ANOMALÍAS SUPERFICIALES

ANOMALÍA DE LA TEMPERATURA SUPERFICIAL DEL MAR – ATSM

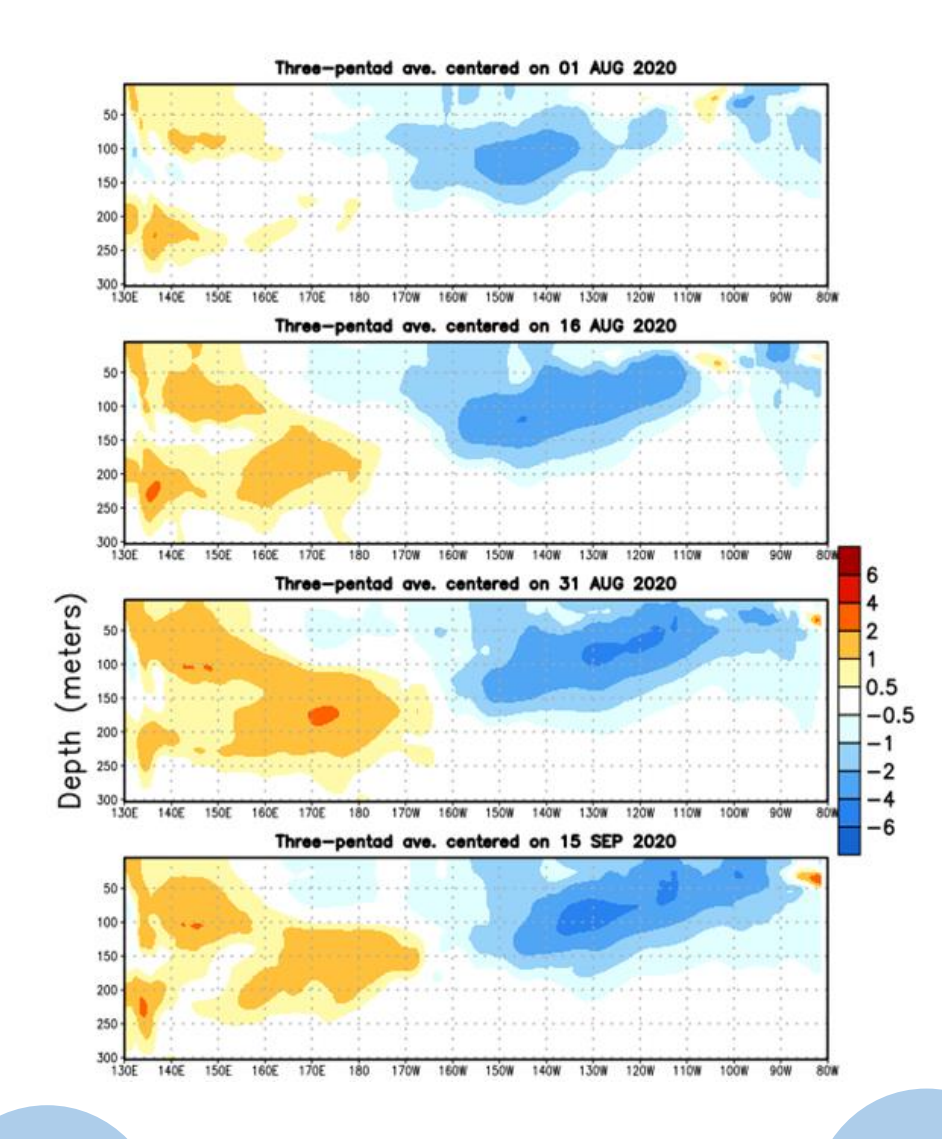


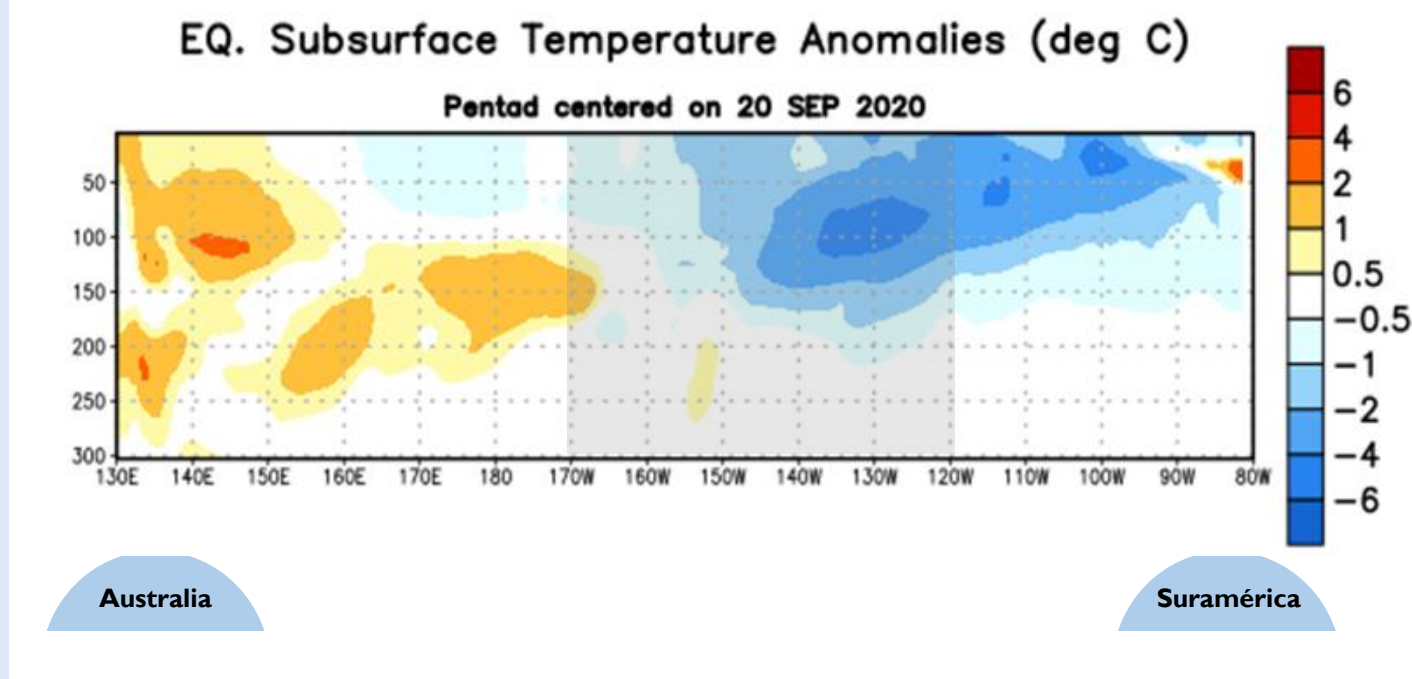


| Región | Semana Anterior | Semana Actual |
|----------|-----------------|---------------|
| Niño 3.4 | -1.0°C | -0.8°C |



Anomalías de Temperatura Subsuperficial del Mar





Aguas subsuperficiales frías en el Pacífico central y oriental.

"Núcleo profundo - se demora en disipar"

Australia

ATMÓSFERA VIENTO Y NUBOSIDAD

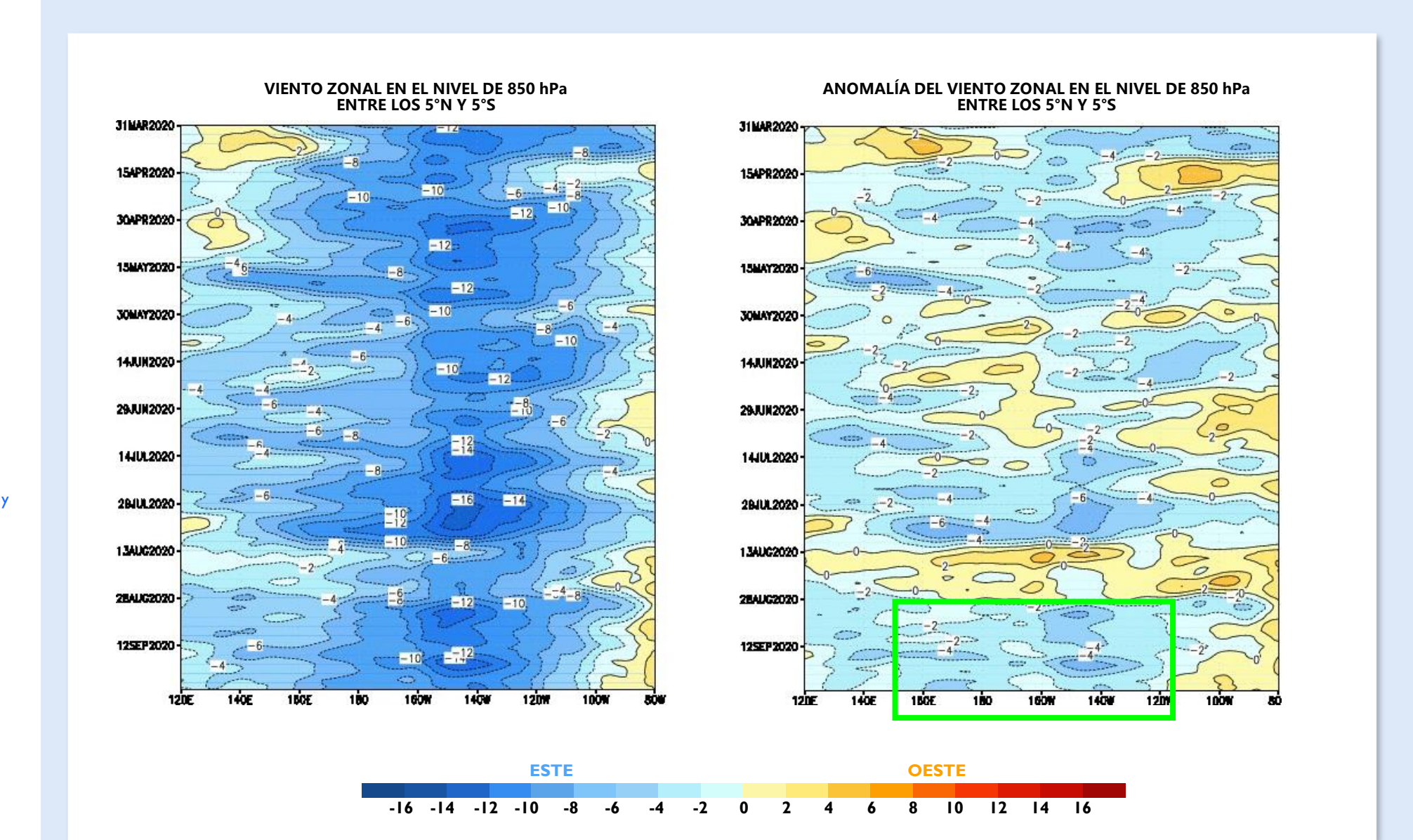
ATMÓSFERA EN SUPERFICIE

850 hPa

Fortalecimiento de los alisios en porciones del Pacífico central y occidental.

Durante La Niña
Se fortalece el flujo del este (alisios) entre el centro y
occidente de la cuenca.

CONDICIONES DEL PACÍFICO TROPICAL

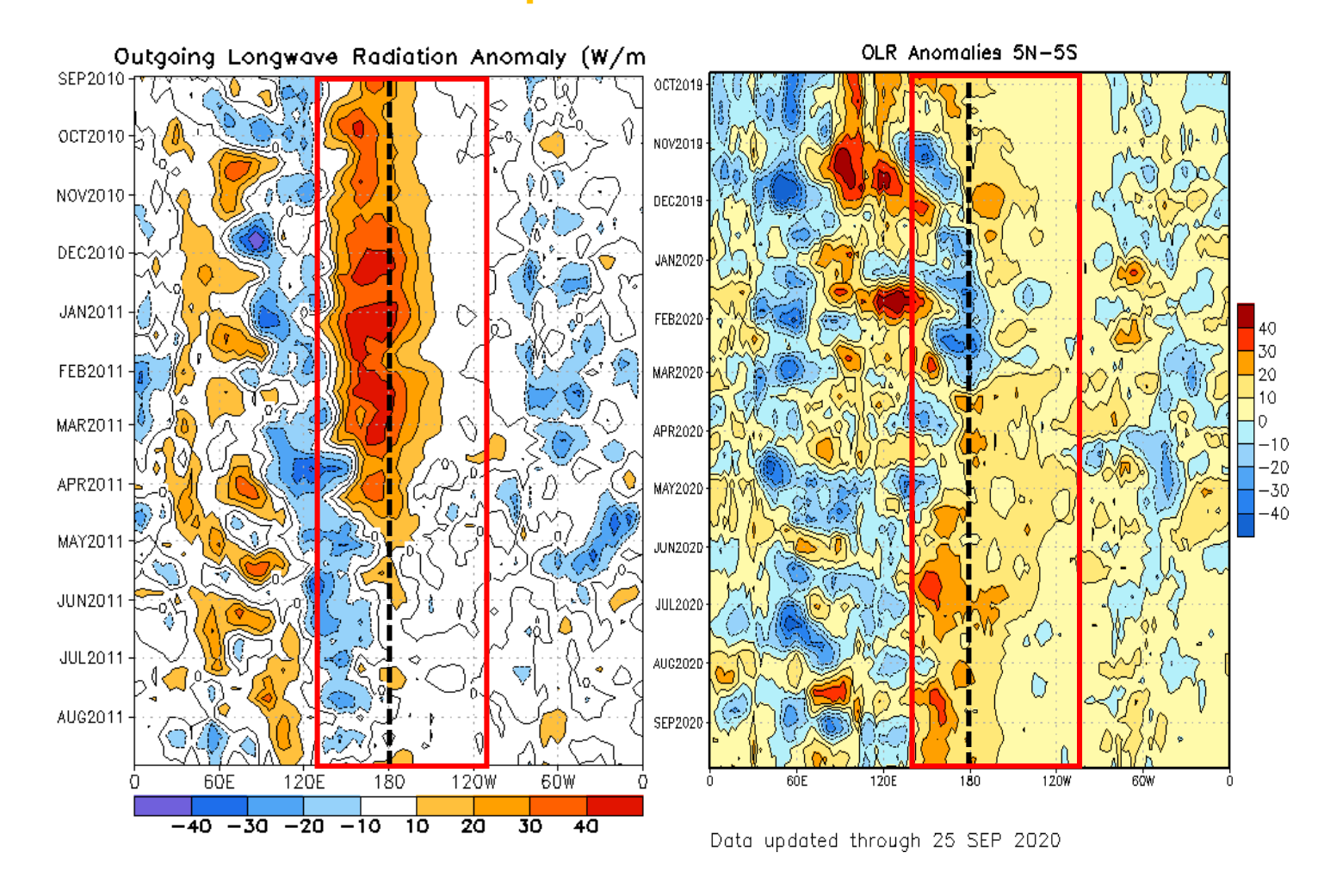




Walker circulation NORMAL YEAR Trade winds South America Australia Cold water **EL NIÑO** YEAR Ker trade winds South America Warm water Australia Cold water

Radiación de Onda Larga Se deriva la nubosidad

Nubosidad continúa suprimida en la cuenca ecuatorial Pacífica.



CICLO ENOS INDICADORES

CICLO EL NIÑO - OSCILACIÓN DEL SUR SEPTIEMBRE 2020 CONDICIONES LA NIÑA

OCÉANO EN3.4

≤-0.5°C

VIENTO

Fortalecimiento Alisios

NUBOSIDAD

Suprimida 180°W

> 5 meses

Comportamiento Observado **Fenómeno La** Niña OCÉANO EN3.4

Umbrales La Niña

VIENTO

Ligero fortalecimiento Alisios

NUBOSIDAD

Suprimida 180°W

1.5

meses

Comportamiento Observado **Septiembre** 2020

INDICADORES DE EL NIÑO

MEIv2

Oscilación del Sur.

Condición Actual (JA) Niña: -1.0

Valores ≥ 0.5 El Niño

Valores >-0.5 < 0.5

Valores ≤ -0.5 Neutral La Niña

ONI – ERSST.v5

Condición Actual (JJA) Neutral: -0.4



Tabla No. I

MEIv2 https://www.esrl.noaa.gov/psd/enso/mei/

| AÑO | DE | EF | FM | MA | AM | MJ | IJ | JA | AS | so | ON | ND |
|------|------|------|-------|------|------|------|------|------|------|------|------|------|
| 2010 | 0.9 | 1.3 | 1.3 | 0.5 | -0.2 | -1.3 | -2.4 | -2.4 | -2.3 | -2.2 | -2 | -1.9 |
| 2011 | -1.8 | -1.6 | -1.8 | -1.7 | -1.3 | -1.1 | -0.9 | -0.9 | -1.2 | -1.4 | -1.2 | -1.2 |
| 2012 | -1.1 | -0.7 | -0.6 | -0.4 | -0.3 | -0.3 | 0.3 | -0.1 | -0.3 | -0.2 | -0.1 | -0.1 |
| 2013 | 0 | -0.1 | -0. I | -0.4 | -0.7 | -1.2 | -0.8 | -0.5 | -0.4 | -0.2 | -0.2 | -0.3 |
| 2014 | -0.5 | -0.4 | -0.1 | -0.2 | -0.2 | 0 | 0.3 | 0.2 | -0.1 | 0.1 | 0.3 | 0.3 |
| 2015 | 0.2 | 0.1 | 0.1 | 0.4 | 1 | 1.9 | 1.7 | 1.9 | 2.2 | 2.1 | 1.9 | 1.9 |
| 2016 | 1.9 | 1.8 | 1.3 | 1.3 | 1.3 | 0.4 | -0.5 | -0.3 | -0.3 | -0.6 | -0.5 | -0.3 |
| 2017 | -0.4 | -0.4 | -0.6 | -0.2 | 0.2 | -0.3 | -0.7 | -0.8 | -0.8 | -0.6 | -0.6 | -0.7 |
| 2018 | -0.8 | -0.7 | -0.8 | -1.3 | -0.9 | -0.5 | -0.2 | 0.4 | 0.5 | 0.4 | 0.3 | 0.1 |
| 2019 | 0.1 | 0.5 | 0.8 | 0.3 | 0.3 | 0.4 | 0.2 | 0.3 | 0.2 | 0.3 | 0.5 | 0.4 |
| 2020 | 0.3 | 0.3 | 0.2 | -0.1 | -0.2 | -0.7 | -1.0 | -1.0 | | | | |

Tabla No. 2

ONI - ERSST.v5 https://origin.cpc.ncep.noaa.gov/products/analysis_monitoring/ensostuff/ONI v5.php

| AÑO | DEF | EFM | FMA | MAM | AMJ | MJJ | JJA | JAS | ASO | SON | OND | NDE |
|------|------|------|------|------|-------|------|------|------|------|------|------|------|
| 2010 | 1.5 | 1.3 | 0.9 | 0.4 | -0.1 | -0.6 | -1 | -1.4 | -1.6 | -1.7 | -1.7 | -1.6 |
| 2011 | -1.4 | -1.1 | -0.8 | -0.6 | -0.5 | -0.4 | -0.5 | -0.7 | -0.9 | -1.1 | -1.1 | -1 |
| 2012 | -0.8 | -0.6 | -0.5 | -0.4 | -0.2 | 0.1 | 0.3 | 0.3 | 0.3 | 0.2 | 0 | -0.2 |
| 2013 | -0.4 | -0.3 | -0.2 | -0.2 | -0.3 | -0.3 | -0.4 | -0.4 | -0.3 | -0.2 | -0.2 | -0.3 |
| 2014 | -0.4 | -0.4 | -0.2 | 0.1 | 0.3 | 0.2 | 0.1 | 0 | 0.2 | 0.4 | 0.6 | 0.7 |
| 2015 | 0.6 | 0.6 | 0.6 | 8.0 | 1 | 1.2 | 1.5 | 1.8 | 2.1 | 2.4 | 2.5 | 2.6 |
| 2016 | 2.5 | 2.2 | 1.7 | 1 | 0.5 | 0 | -0.3 | -0.6 | -0.7 | -0.7 | -0.7 | -0.6 |
| 2017 | -0.3 | -0.1 | 0.1 | 0.3 | 0.4 | 0.4 | 0.2 | -0.1 | -0.4 | -0.7 | -0.9 | -1 |
| 2018 | -0.9 | -0.8 | -0.6 | -0.4 | -0. I | 0.1 | 0.1 | 0.2 | 0.4 | 0.7 | 0.9 | 8.0 |
| 2019 | 0.8 | 0.8 | 8.0 | 0.7 | 0.6 | 0.5 | 0.3 | 0.1 | 0.1 | 0.3 | 0.5 | 0.5 |
| 2020 | 0.5 | 0.6 | 0.5 | 0.3 | 0.0 | -0.2 | -0.4 | | | | | |



LA NIÑA

Todos los indicadores clave de El Niño-Oscilación del Sur han alcanzado o superado los umbrales de La Niña. Los indicadores atmosféricos que incluyen el Índice de Oscilación Sur (IOS), la fuerza de los vientos alisios y la nubosidad ecuatorial también se encuentran en los valores de La Niña.

Todos los modelos climáticos estudiados por el BOM indican que es probable que se enfríe más y que los umbrales de La Niña probablemente se mantendrán al menos hasta enero de 2021.

> Actualización Septiembre 29



El ENOS permanece NEUTRAL

No obstante, desde mayo la TSM y TsSM de la región se ha observado por debajo del promedio. Los resultados más recientes de los Centros Mundiales de Producciones de Largo Plazo (GPCs-LRF), sugieren un mayor enfriamiento en el Pacífico Tropical, alcanzando potencialmente lo niveles de La Niña durante septiembre. En consecuencia, la OMM estima:

SEPTIEMBRE - NOVIEMBRE

- ~ 60% condición La Niña.
- ~ 40% condición Neutral.

DICIEMBRE-FEBRERO

- ~ 55% condición La Niña.
- ~ 40% condición Neutral.
- ~ 5% condición El Niño.

CPC / IRI

Estados Unidos

ADVERTENCIA LA NIÑA

Las condiciones de La Niña están presentes. TSM por debajo del promedio en el centro y oriente de la cuenca. La TsSM promediada entre los 180°W y 100°W estuvo negativa. Las anomalías de la circulación atmosférica sobre el Pacífico tropical también fueron generalmente consistentes con La Niña. La convección tropical permaneció suprimida sobre el oeste y centro del Pacífico. Tanto el índice de Oscilación del Sur como el de Oscilación del Sur Ecuatorial fueron positivos. En general, el sistema oceánico y atmosférico combinado fue consistente con las condiciones de La Niña.

> **INVIERNO HN 2020** ~ 75% condición La Niña.

> > Actualización Septiembre 10

NOAA/NCEP

Estados Unidos

ADVERTENCIA LA NIÑA

INVIERNO HN 2020

~ 75% condición La Niña.

Actualización Septiembre 10

Estaciones

H.N H.S Otoño Primavera Verano Invierno

21-22 junio 22-24 septiembre 21-22 diciembre

20-21 marzo

Otoño Invierno Primavera Verano

T_SSM Temperatura Subsuperficial

ATSM

IOS

HN

HS

CIIFEN

El océano Pacífico: condiciones muy próximas a un evento La Niña.

Centros Internacionales

Las condiciones normales en el Pacífico se debilitan y se fortalecen más las condiciones tipo La Niña. La TSM del Pacífico ecuatorial central y oriental (cerca a Sudamérica) por varias semanas consecutivas se ha mostrado por debajo del promedio y con clara tendencia a mantenerse así, lo que sin duda altera las condiciones climáticas de toda la región. La diferencia de TSM entre la primera semana de septiembre y primera semana de agosto, señala un mayor enfriamiento durante los primeros días de septiembre, indicando que este proceso de enfriamiento de las aguas del Pacífico ha continuado durante el mes, siendo más intenso a lo largo del Pacífico ecuatorial central y oriental; además este enfriamiento también se viene dando junto a las costas del Pacífico de Centro y Sudamérica.

SEPTIEMBRE-NOVIEMBRE

Altas probabilidades de ocurrencia del evento La Niña.

Actualización **S**eptiembre

Perspectivas

JMA

Condiciones LA NIÑA están presentes.

En agosto la TSM en la región EN 3 estuvo por debajo del promedio. A nivel subsuperficial se registraron anomalías cálidas al occidente y bajo lo normal entre el centro y el oriente. Convección suprimida en los 180°W. En superficie, los alisios se fortalecieron en la región central. Estas condiciones oceánicas y atmosféricas indican características comunes de eventos pasados de La Niña.

INVIERNO HN

~ 70% condición Niña.

Actualización Septiembre 10

Actualización Agosto 2020

TSM Temperatura Superficial del Mar

del Mar

Anomalía Temperatura Superficial del Mar

Índice de Oscilación del Sur

Hemisferio Norte

Hemisferio Sur

PREDICCIÓN CLIMÁTICA

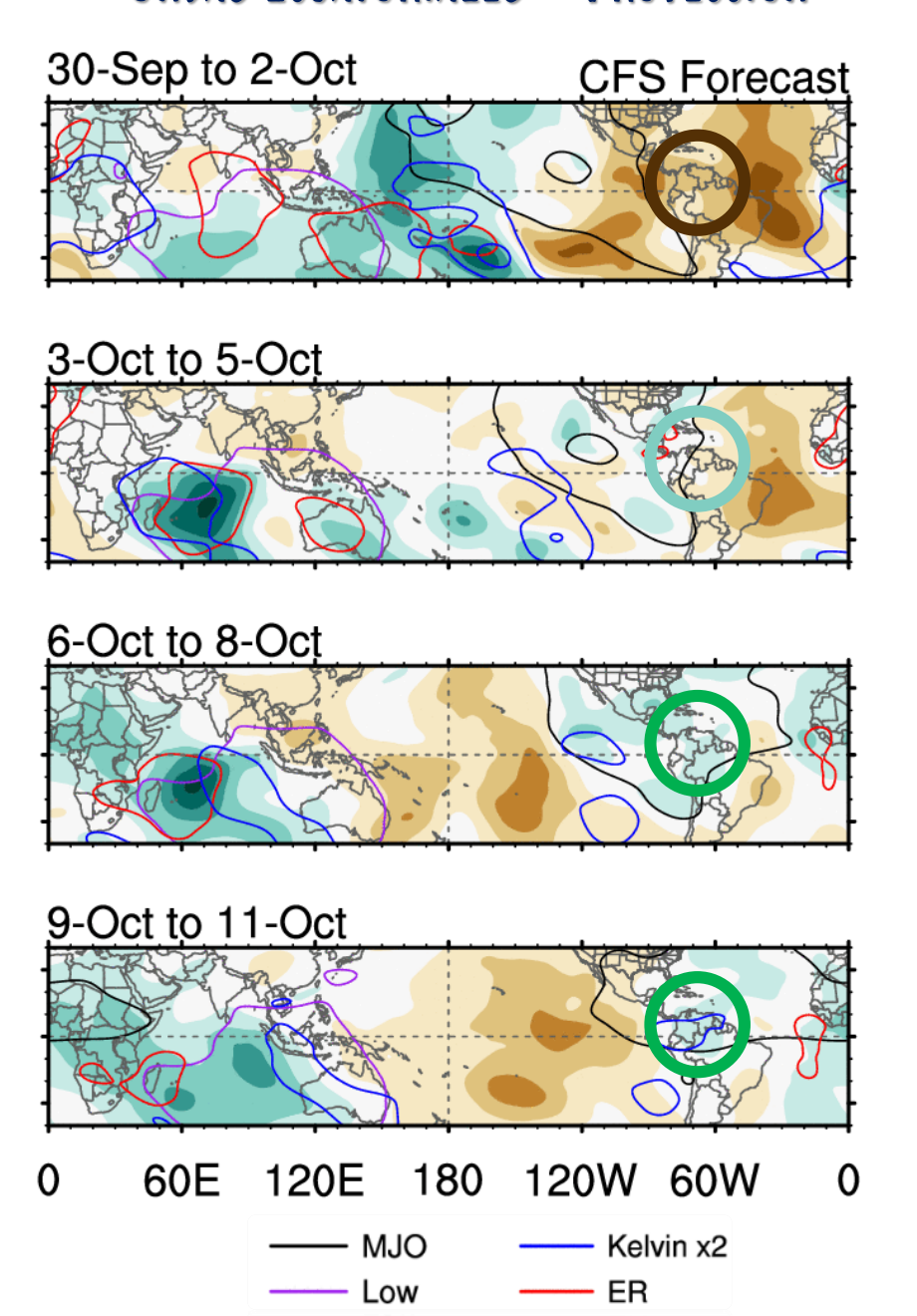
- INTRAESTACIONAL
- ESTACIONAL CENTROS INTERNACIONALES IDEAM

INTRAESTACIONAL



ESTADO DE LA MJO 29 SEP 2020 40N 30N 20N EQ. 105 205 30S 40S 503 120W 224 226 228 230 232 234 236 238 240 242 244 247 250 253 256 259 262 265 268 271 274 Degrees K Actual **Fase Subsidente**

ONDAS ECUATORIALES - PROYECCIÓN

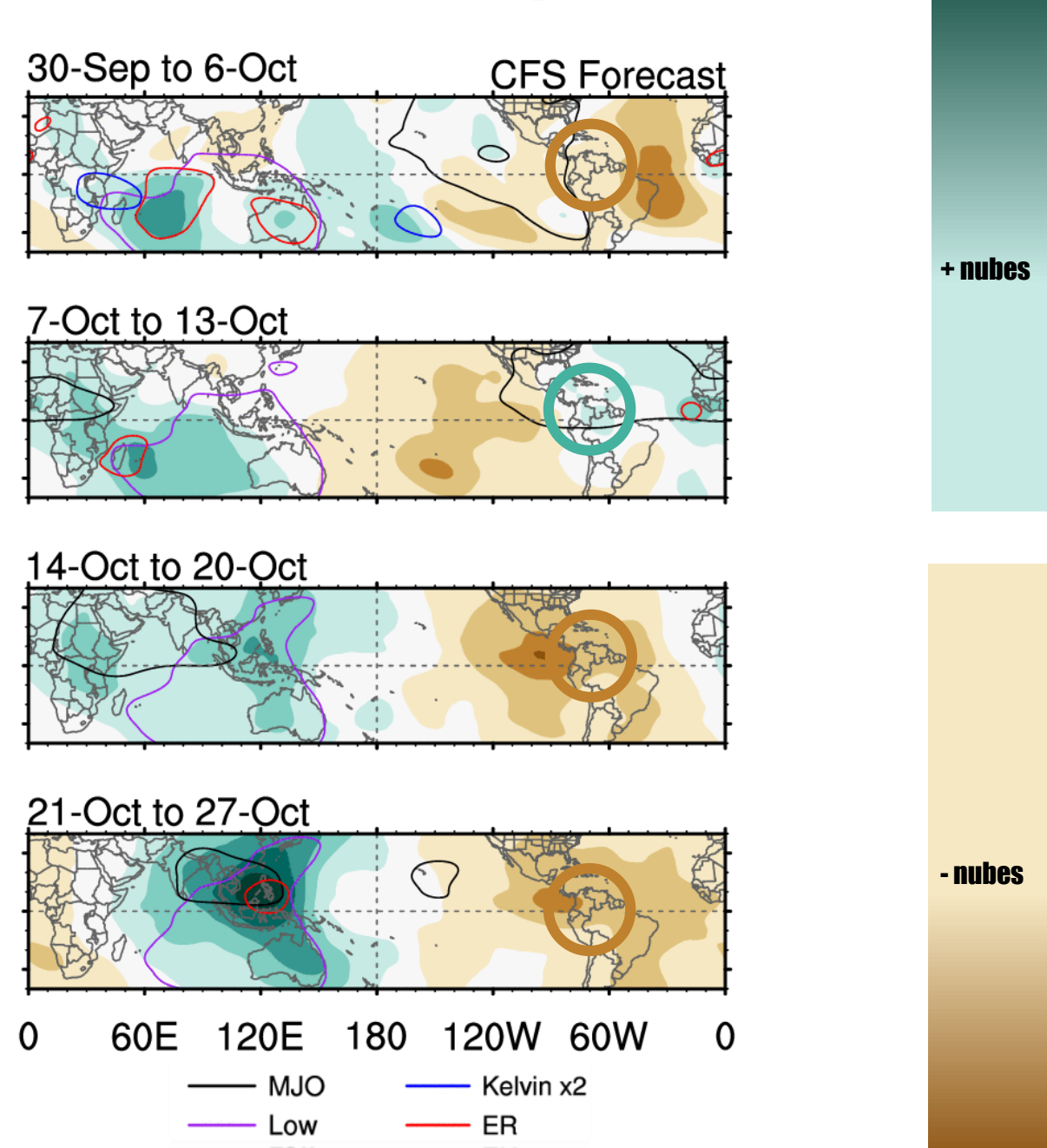


+ nubes

- nubes



Ondas Ecuatoriales - Proyección

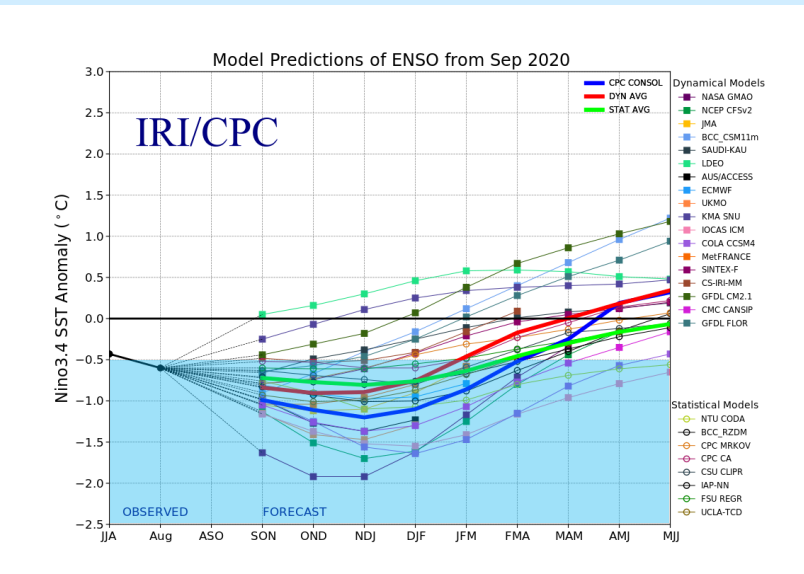




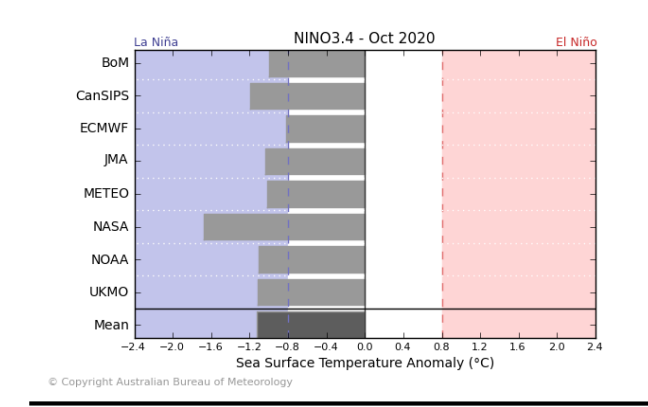
ESTACIONAL CENTROS INTERNACIONALES

IRI

Early-September 2020 CPC/IRI Official Probabilistic ENSO Forecasts ENSO state based on NINO3.4 SST Anomaly Neutral ENSO: -0.5 °C to 0.5 °C La Niña Forecast Probability 100 Neutral Forecast Probability El Niño Forecast Probability 90 - La Niña Climatology Neutral Climatology 80 El Niño Climatology 70 Probability (%) 50 40 30 20 10 0 ASO SON OND NDJ DJF JFM FMA MAM Season

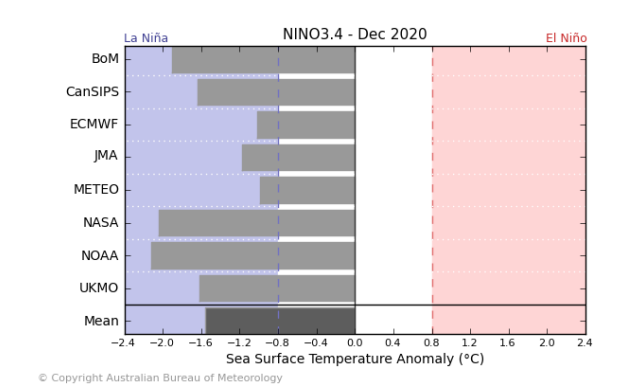


AUSTRALIA



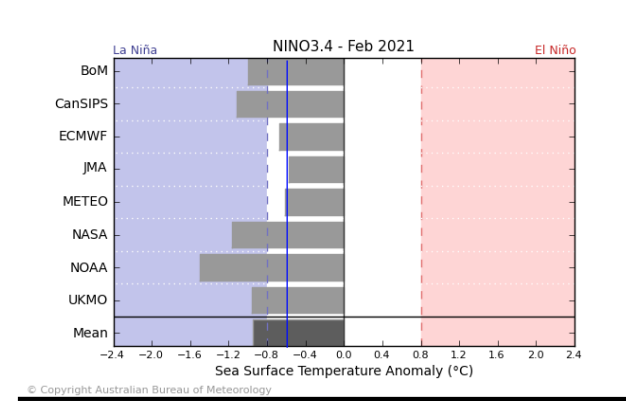
Oct/2020

Niña



Dic/2020

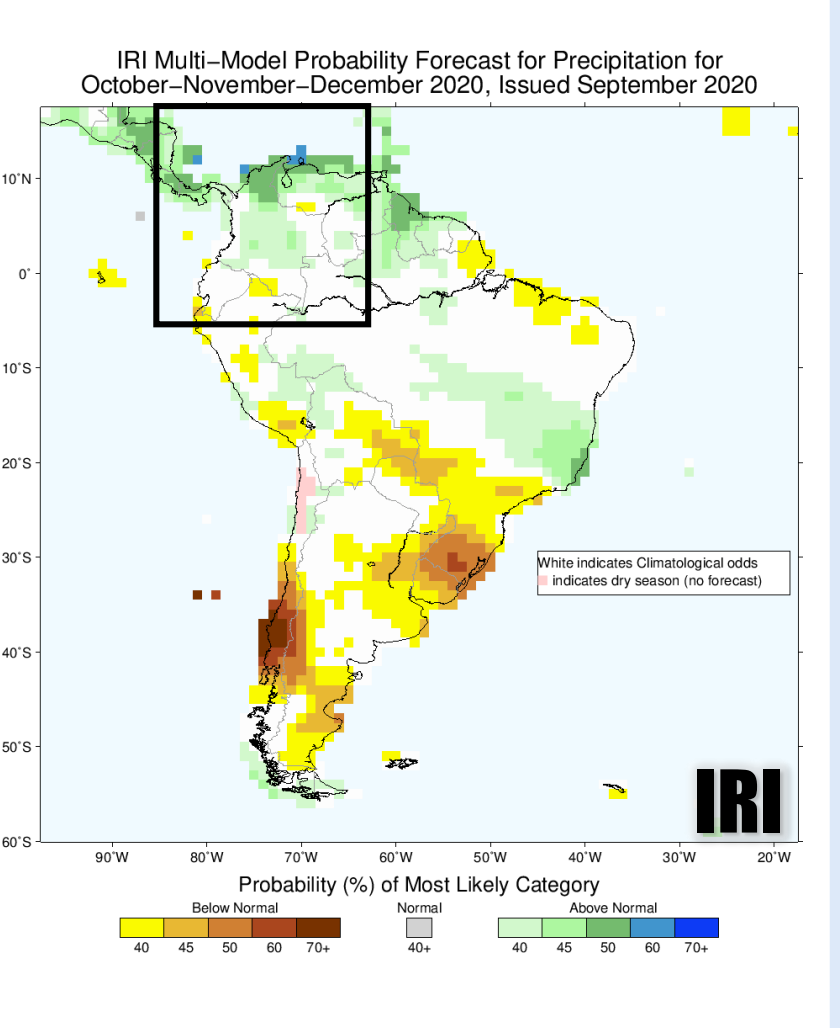
Niña

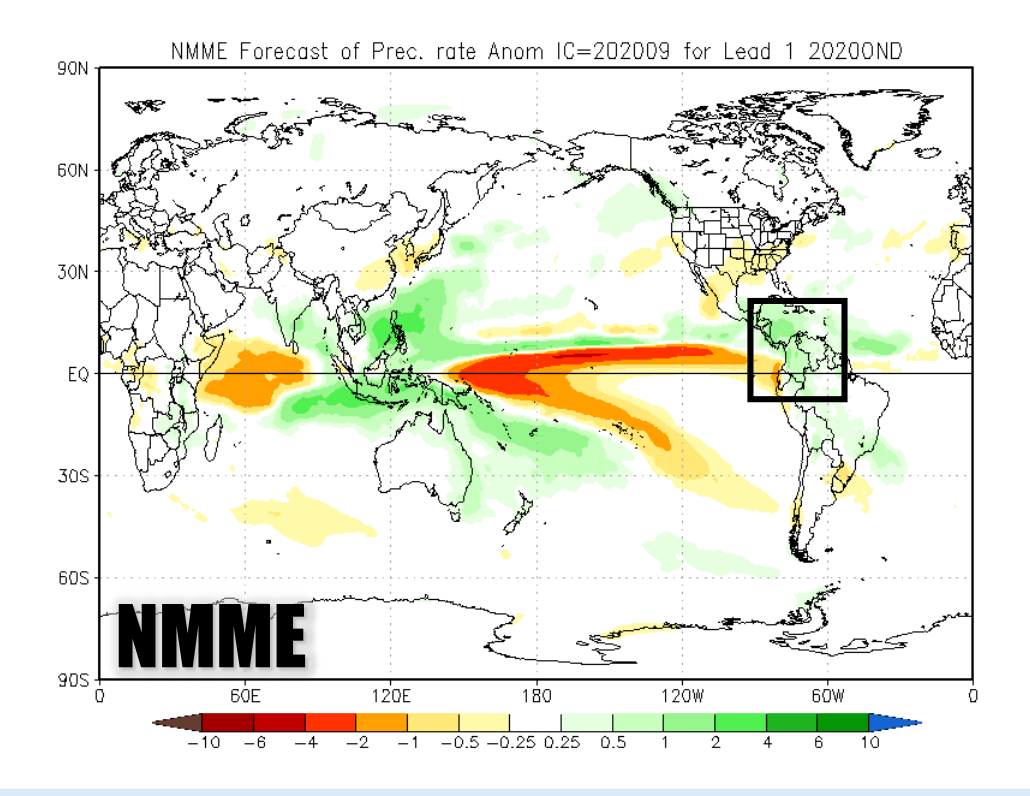


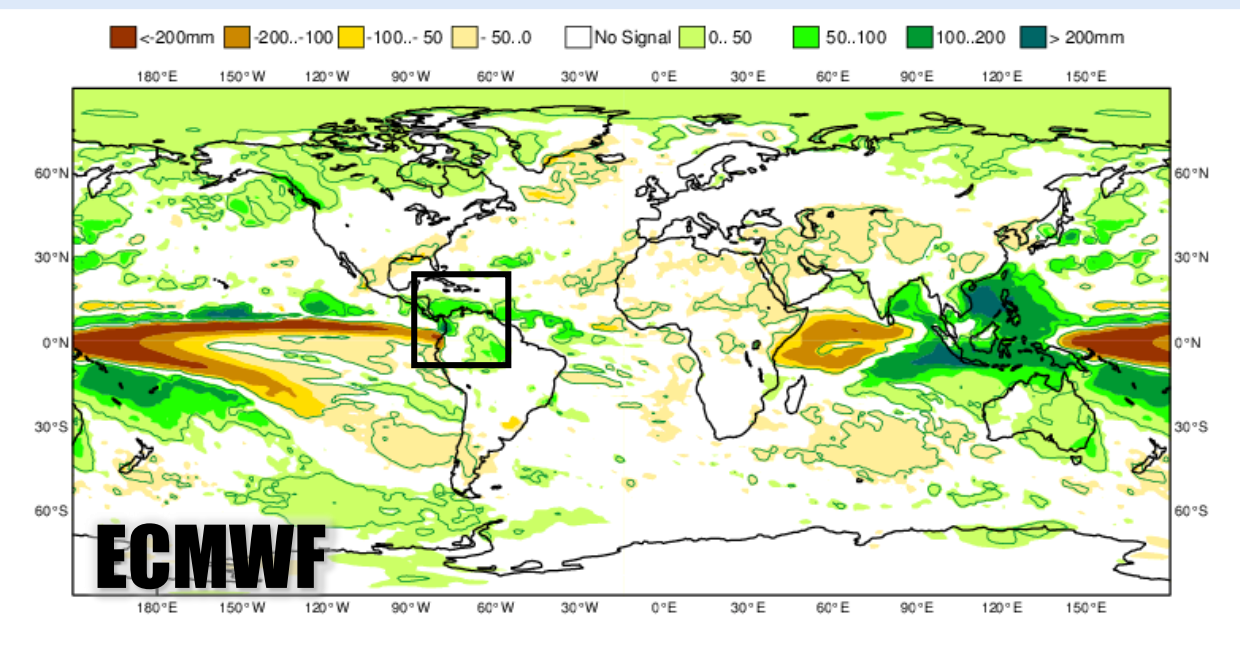
Feb/2021



Predicción de la Precipitación **OND**



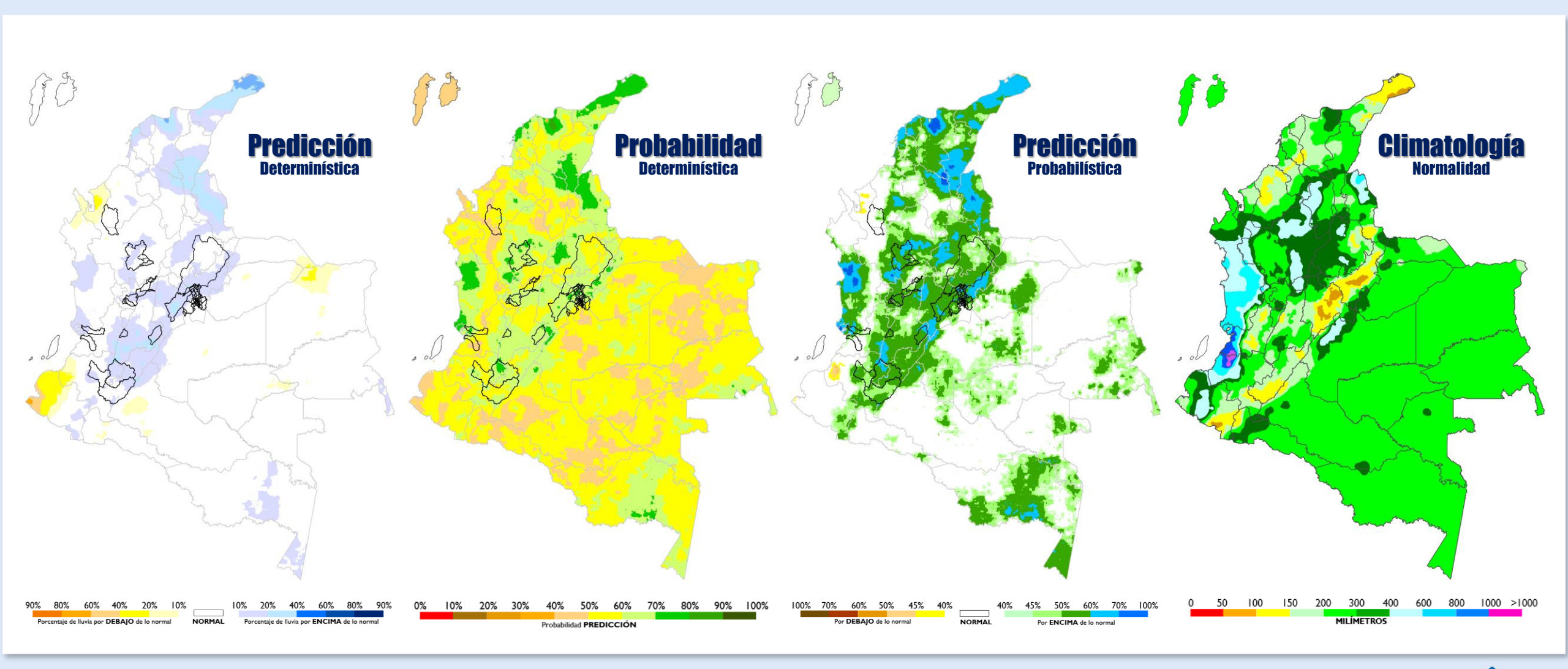




ESTACIONAL IDEAM



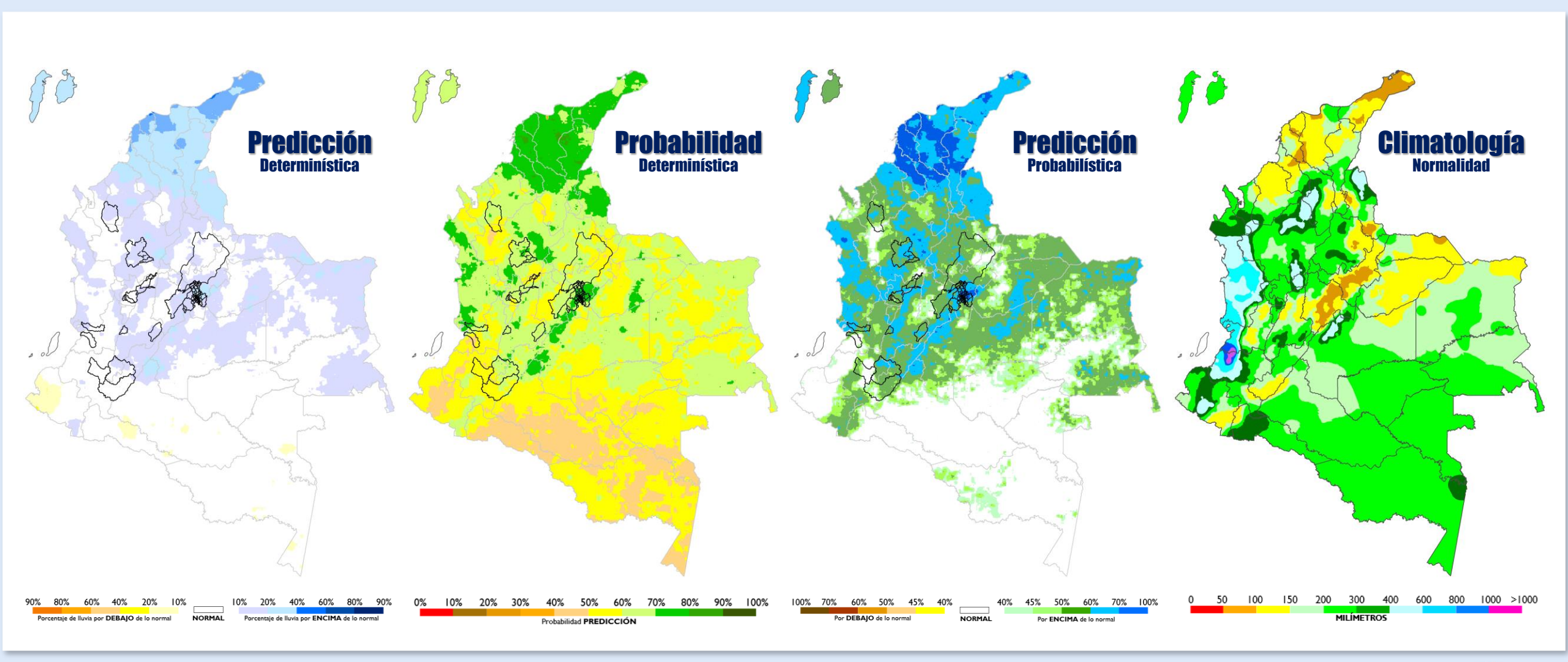
PREDICCIÓN DE LA PRECIPITACIÓN OCTUBRE 2020







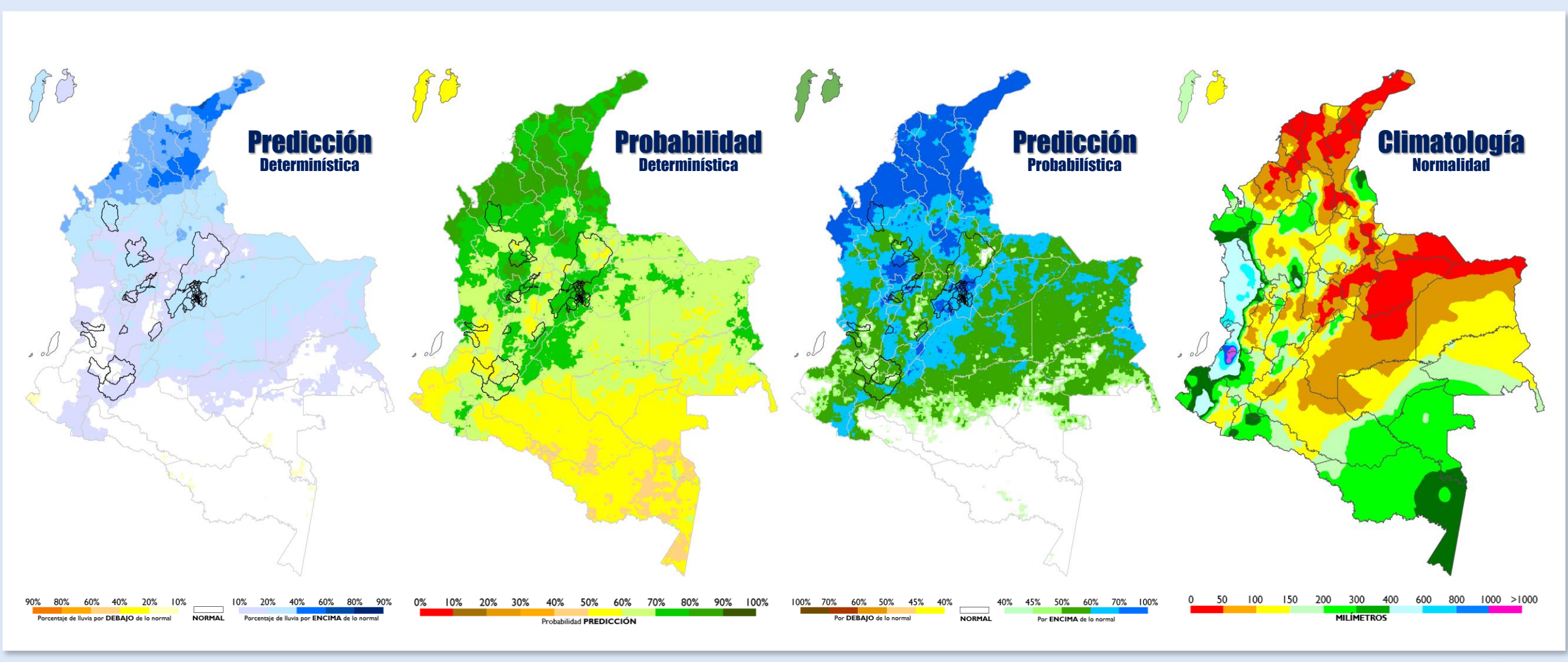
PREDICCIÓN DE LA PRECIPITACIÓN NOVIEMBRE 2020







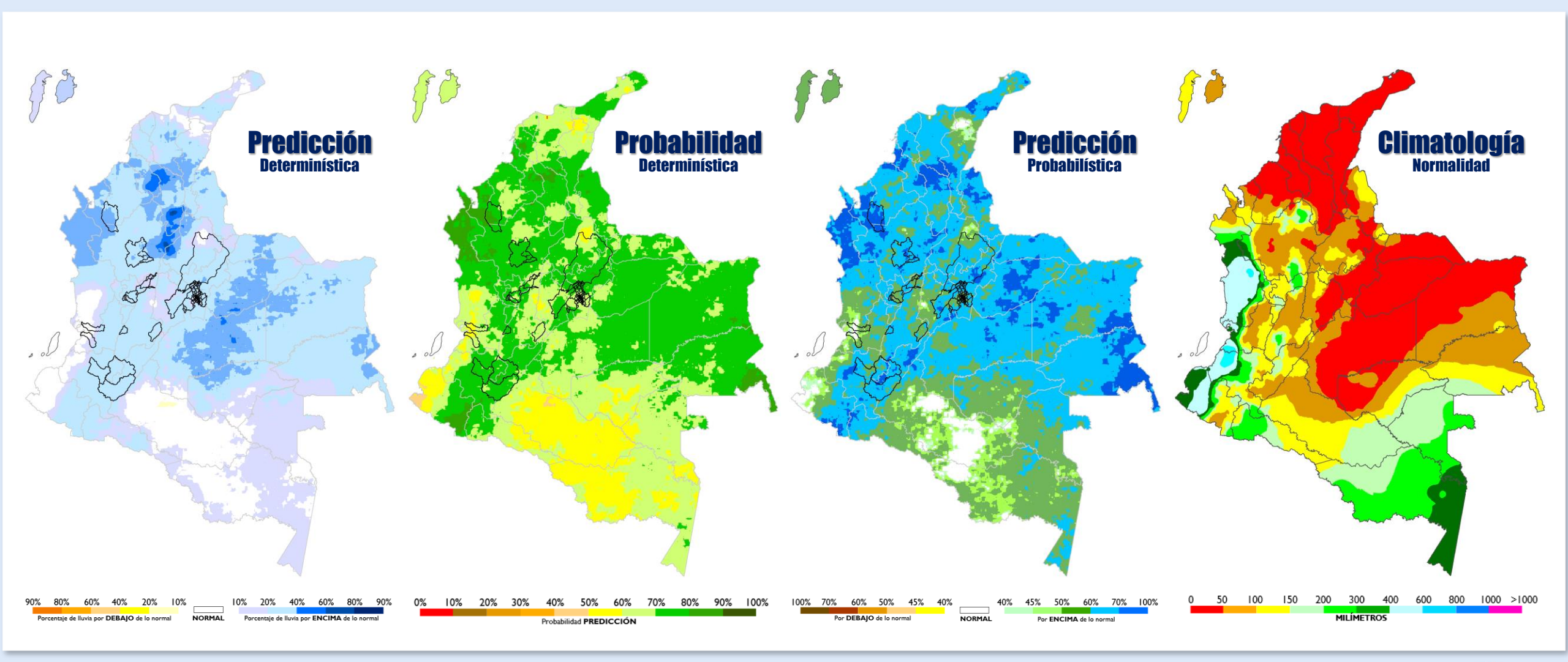
PREDICCIÓN DE LA PRECIPITACIÓN DICIEMBRE 2020







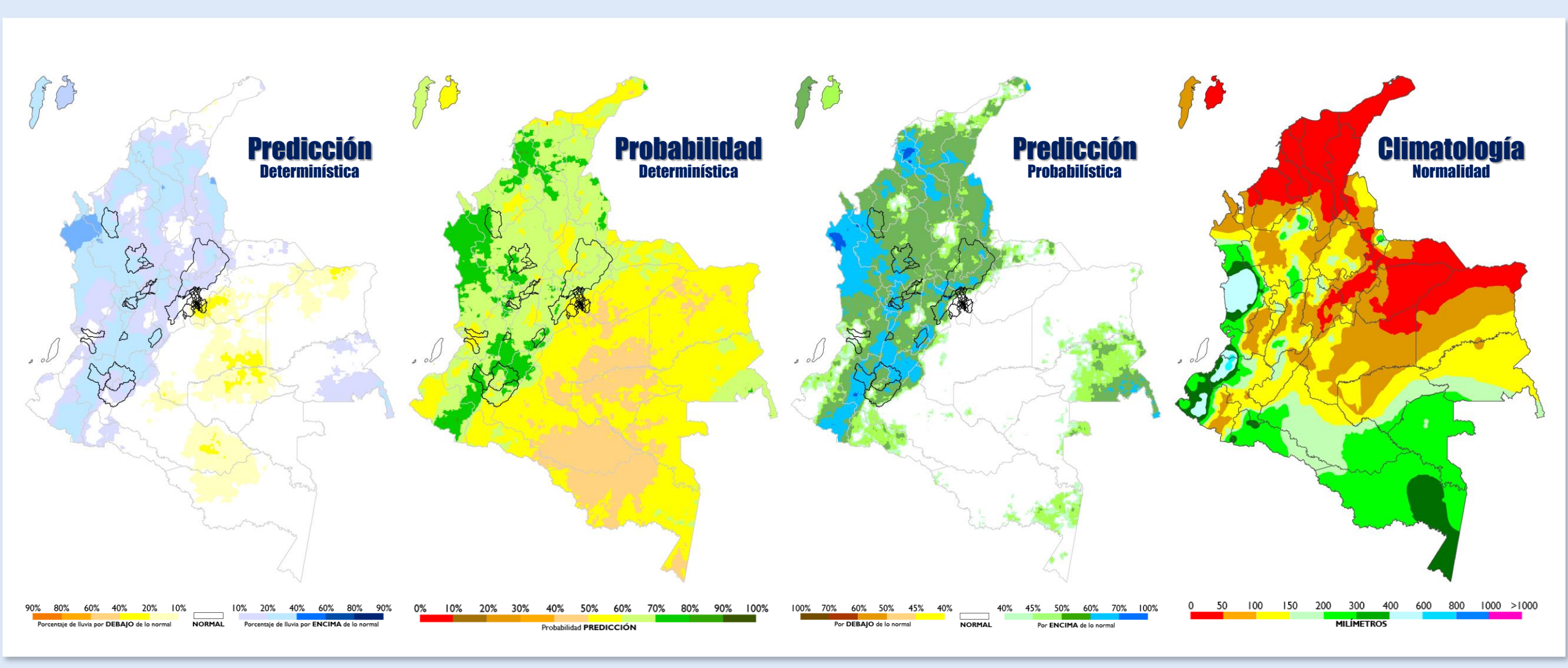
PREDICCIÓN DE LA PRECIPITACIÓN ENERO 2021







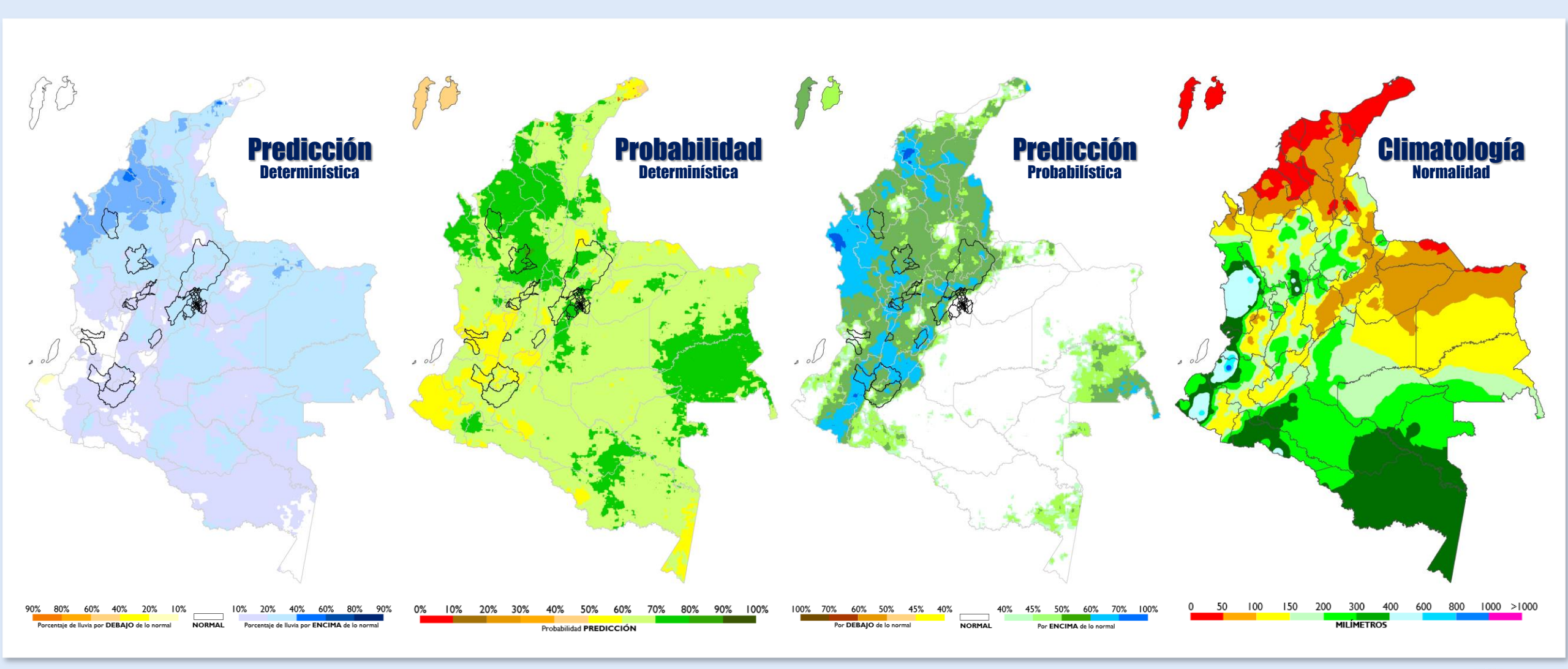
PREDICCIÓN DE LA PRECIPITACIÓN FEBRERO 2021





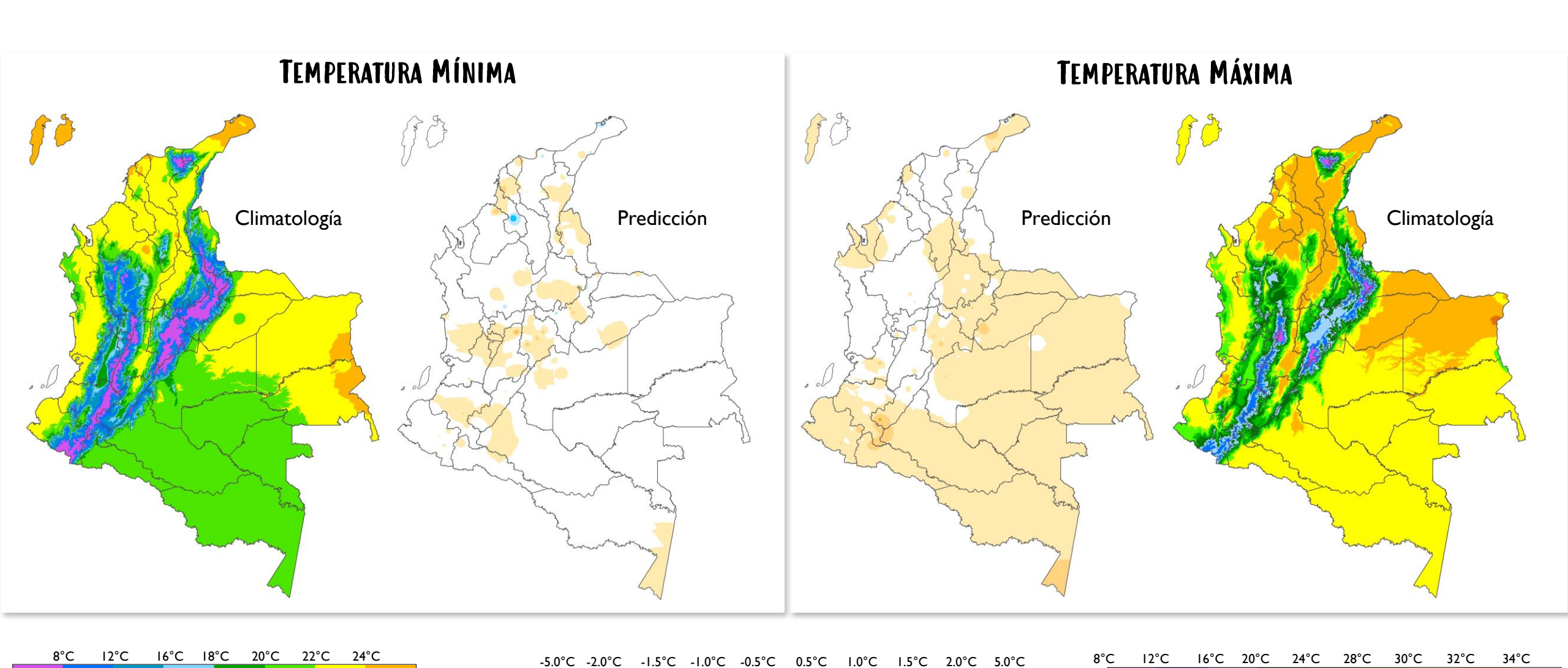


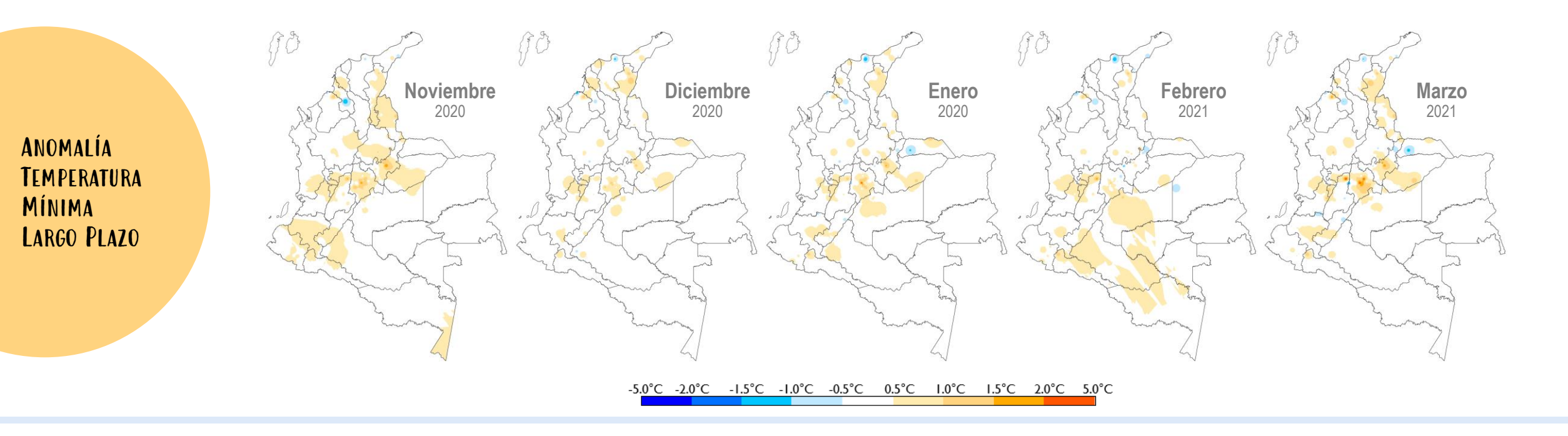
PREDICCIÓN DE LA PRECIPITACIÓN MARZO 2021

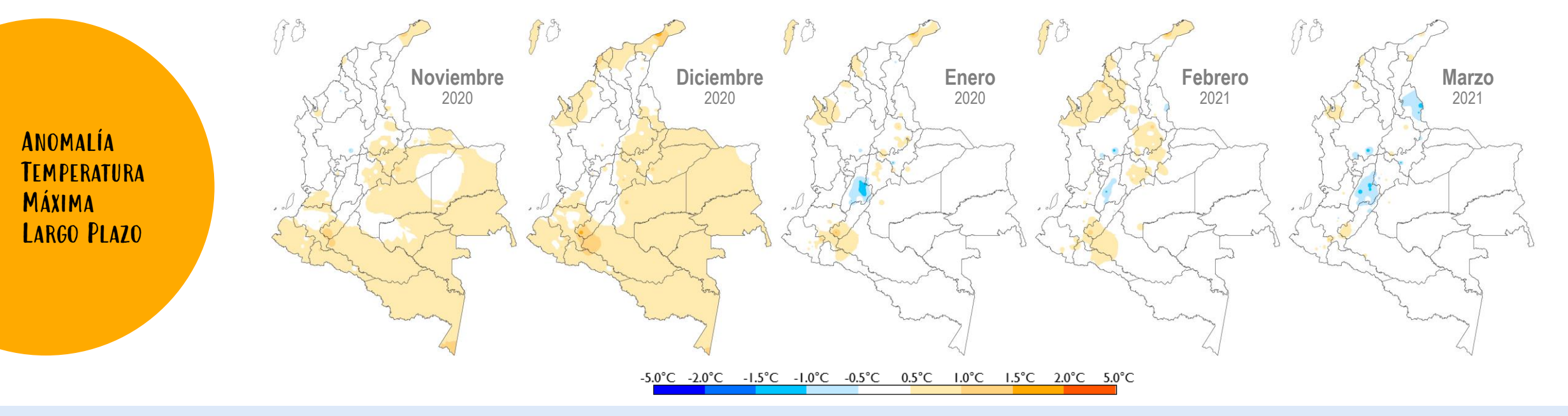




Predicción de las Anomalías de Temperaturas Extremas — Octubre 2020 Salida Determinística

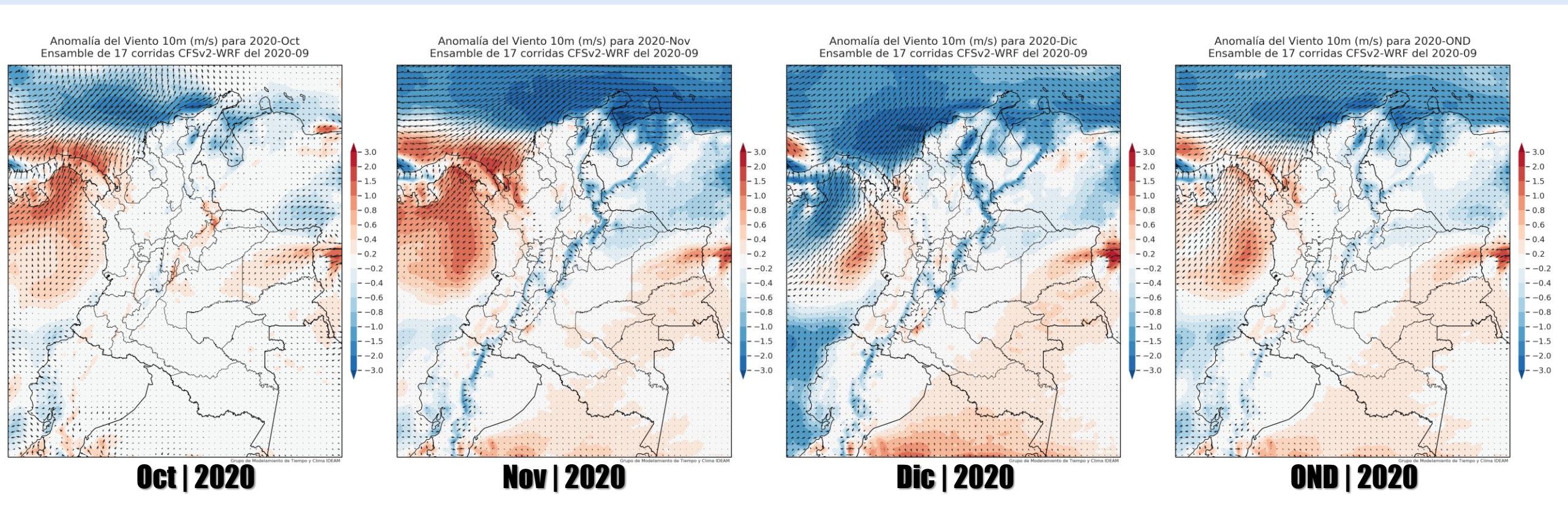








Predicción Campo de Viento — OND 2020 Modelo Dinámico





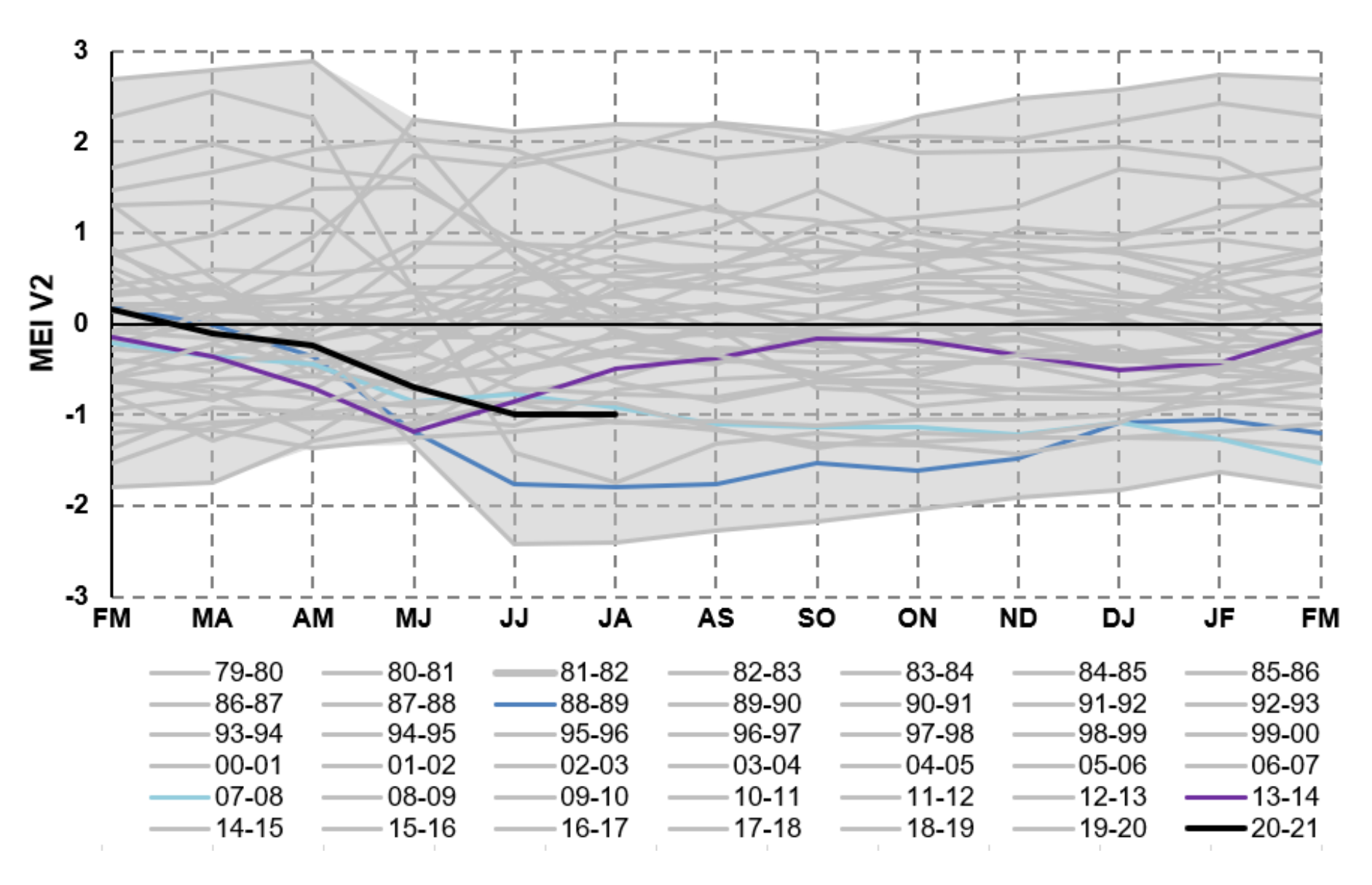
| ANOMALÍAS EN CIRCULACIÓN | | | | | | CHORRO DEL CHOCÓ |
|-----------------------------|----------------|----------------|---------------------------|-----------|------|-----------------------|
| MJO | | | | | | Frentes H.N |
| ZCIT | JETS | | | | ZCAS | ONDAS ECUATORIALES |
| BAJAS PRESIONES | FRENTES H.S | ONDAS DEL ESTE | BAJA ANCLADA DE PANAMÁ | ADVECCIÓN | NET | Polvo Sahara |

ANÁLOGOS

ANÁLOGOS

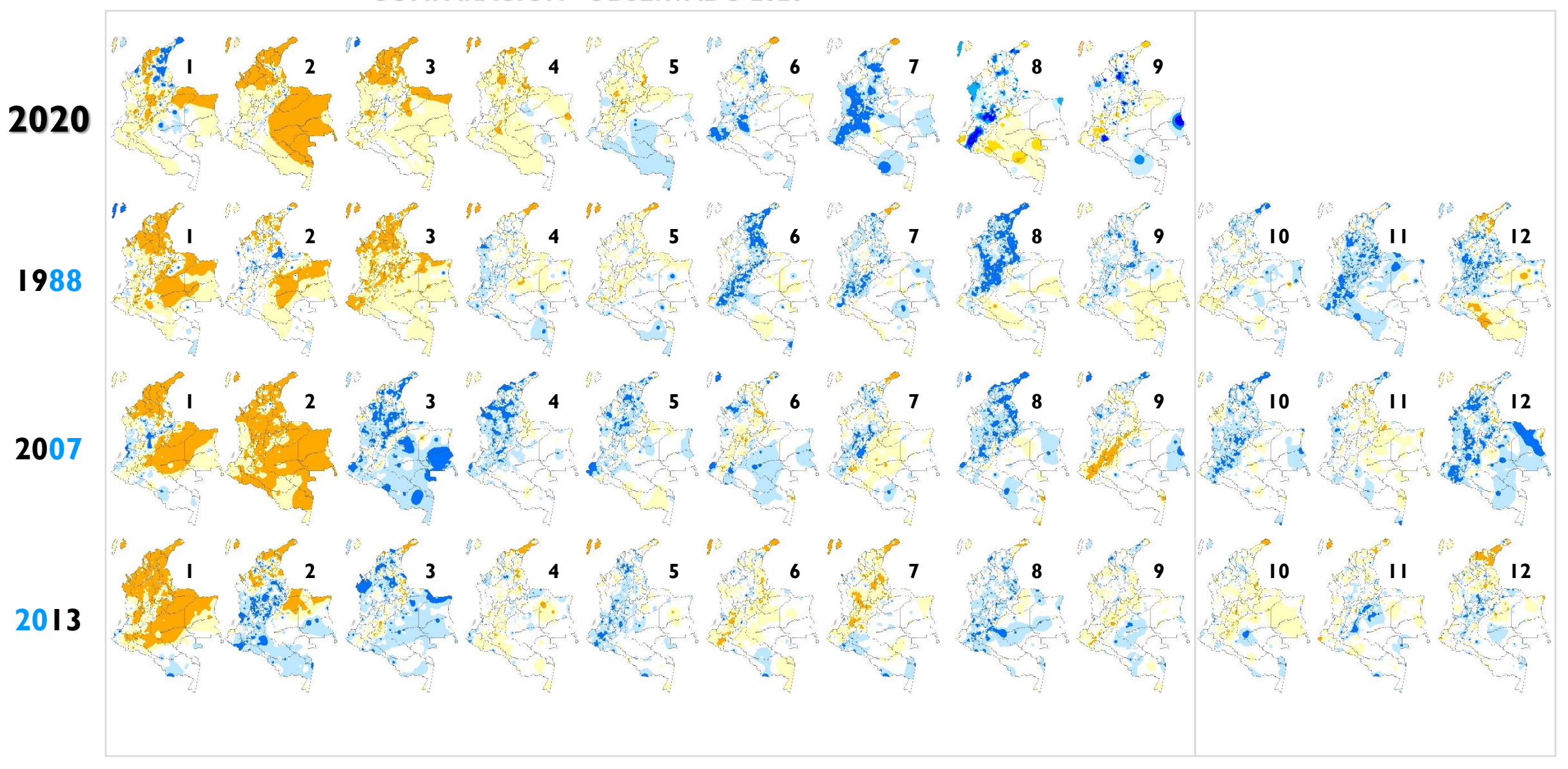
Precipitación vs. MEIv2

Persistencia 5 meses MEIv2 Ultimo valor JA = -1.0



Elaborado por Juan Barrios - OSPA

COMPARACIÓN - OBSERVADO 2020



CONCLUSIÓN

LAS CONDICIONES LA NIÑA ESTÁN PRESENTES.

EN ESTE CONTEXTO, EL COMPORTAMIENTO CLIMÁTICO SOBRE EL TERRITORIO NACIONAL SERÁ MODULADO EN MAYOR MEDIDA POR LAS <u>PERTURBACIONES DE LA ESCALA INTRAESTACIONAL</u> Y LA <u>DINÁMICA ASOCIADA A LA EVOLUCIÓN DE LA NIÑA</u>.

AGRADEZCO SU ATENCIÓN